

w metodach jednokrokových możliwa i prosta
do przeprowadzenia jest adaptacja kroku czasowego
w czasie symulacji (ekstrapolacja Richardsona dla błędu lokalnego)

dla metod wielokrokových zmiana kroku
czasowego w trakcie rozwiązywania problemu jest wykluczona

dla obydwu klas metod do podniesienia dokładności zastosować
można

ekstrapolację Richardsona dla **błędu globalnego**

czyli: jak używając kroku dt
a uzyskać dokładność jak dla $dt / 1000000$

ekstrapolacja Richardsona dla błędu globalnego

wcześniej stosowaliśmy ekstrapolację Richardsona dla szacowania błędu lokalnego
= aby podnieść rząd dokładności (o jeden), lub aby kontrolować krok czasowy

przyjrzyjmy się bliżej ekstrapolacji dla błędu globalnego :

cel: zwiększenie dokładności o wiele rzędów

$z(t, \Delta t)$ | rozwiązanie przybliżone uzyskane dla chwili t z krokiem Δt

odchylenie rozwiązania numerycznego od
dokładnego $u(t)$ można przedstawić jako szereg potęgowy w Δt

$$z(t, \Delta t) = u(t) + \sum_{i=1} c_i(t) \Delta t^i$$

dla metody rzędu p : $c_1=c_2= \dots c_{p-1}=0$, wyższe c są już niezerowe
(rząd błędu globalnego jest o jeden niższy od lokalnego)

ekstrapolacja Richardsona dla błędu globalnego: wyliczenie kolejnych
wartości c (porównanie wyników dla różnych Δt)
i eliminacja błędu z nimi związanego.

ekstrapolacja Richardsona dla błędu globalnego przykład

używamy schematu Eulera (jawnego lub niejawnego) $p=1$
wykonujemy *wiele* kroków aż dotrzemy do t

$$\left| \begin{array}{l} z(t, \Delta t) = u(t) + c_1 \Delta t + c_2 \Delta t^2 + \dots \\ z(t, \Delta t/2) = u(t) + c_1 \Delta t/2 + c_2 \Delta t^2/4 + \dots \end{array} \right| \quad (2)$$

odejmujemy stronami aby wyeliminować $u(t)$, liczymy c_1

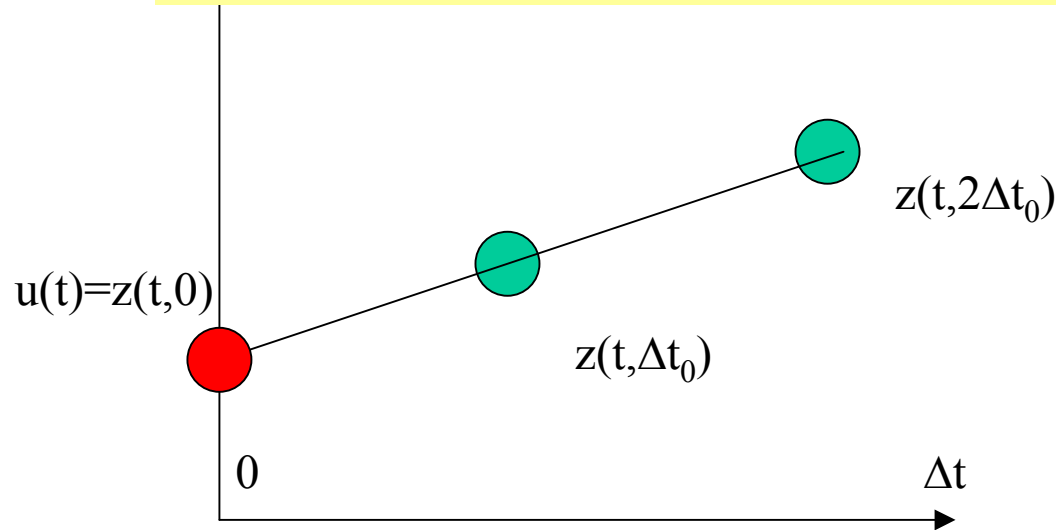
$$\frac{c_1 \Delta t}{2} = z(t, \Delta t) - z(t, \Delta t/2) - \frac{3c_2}{4} \Delta t^2 + \dots$$

wstawić do schematu z mniejszym krokiem (2):

$$\underline{2z(t, \Delta t/2) - z(t, \Delta t) = u(t) - \frac{c_2}{2} \Delta t^2 + \dots} \quad \left| \right.$$

kombinacja liniowa wyników z Δt i $\Delta t/2$
lepiej niż każdy z osobna przybliża $u(t)$

ekstrapolacja Richardsona dla błędu globalnego - interpretacja graficzna



przeprowadźmy prostą przez wyniki uzyskane z krokami czasowymi $2\Delta t_0$ oraz Δt_0

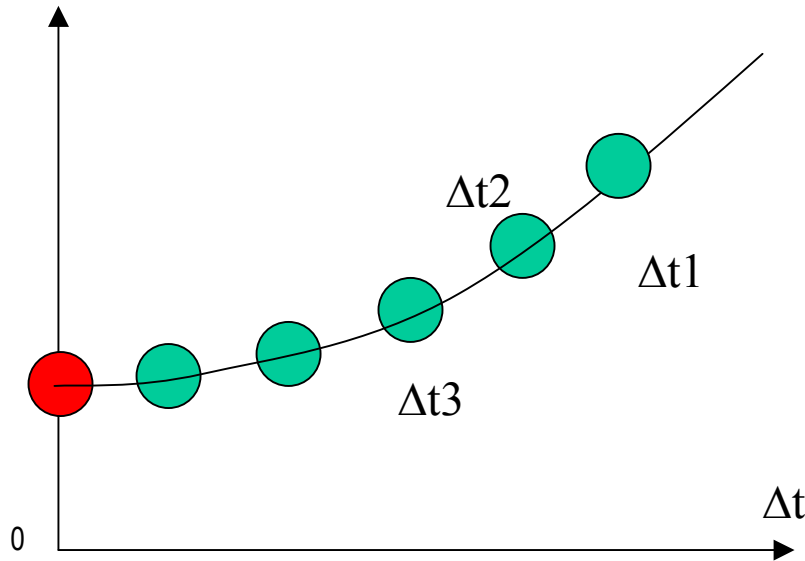
$$z(t, \Delta t) = \frac{z(t, 2\Delta t_0) - z(t, \Delta t_0)}{\Delta t_0} \Delta t + C \quad \Bigg|$$

$$z(t, \Delta t_0) = \frac{z(t, 2\Delta t_0) - z(t, \Delta t_0)}{\Delta t_0} \Delta t_0 + C \quad \longrightarrow \quad C = 2z(t, \Delta t_0) - z(t, 2\Delta t_0)$$

$$u(t=0)=z(t,0)+O(\Delta t^2)=C+O(\Delta t^2)$$

ogólna procedura ekstrapolacyjna:

liczymy $z(t, \Delta t_i)$ z krokami czasowymi Δt_i , $i=0,1,2,\dots,q$
uzyskane punkty interpolujemy wielomianem stopnia q
liczymy jego wartość w $\Delta t=0$



$$z(t, \Delta t) = u(t) + \sum_{i=1} c_i(t) \Delta t^i$$

Rachunki dla dwóch kroków czasowych eliminują c_1 , dla N kroków wyeliminują N-1 współczynników c_i

interpolacja schematem Aitkena-Nevilla (wygodniejszy niż wzór Newtona):
rekurencyjna generacja przybliżeń wyższego rzędu z przybliżeń rzędu niższego

$R_q^i(\Delta t) \mid$ wielomian interpolacyjny dla kroków:

$$R_q^i(\Delta t_j) = z(t, \Delta t_j) \quad j=i, i+1, \dots, i+q$$

pierwszy rozważany krok czasowy

$$R_q^i(\Delta t_j) = z(t, \Delta t_j)$$

rzęd wielomianu
(ilość rozważanych kroków czasowych -1)

Algorytm Aitkena-Nevilla:

rekurencyjna generacja przybliżeń wyższego rzędu z przybliżeń rzędu niższego

$R_q^i(\Delta t)$ | wielomian interpolacyjny dla kroków:

$$R_q^i(\Delta t_j) = z(t, \Delta t_j) \quad j=i, i+1, \dots, i+q$$

spróbujemy wygenerować taki wielomian przy pomocy wielomianów niższego rzędu

$R_{q-1}^i(\Delta t)$ | punkty interpolacji: $i, i+1, \dots, i+q-1$

oraz

$R_{q-1}^{i+1}(\Delta t)$ punkty $i+1, i+1, \dots, i+q-1, i+q$

przy pomocy formuły:

$$R_q^i(\Delta t) = \Phi_{iq}(\Delta t) R_{q-1}^i(\Delta t) + (1 - \Phi_{iq}(\Delta t)) R_{q-1}^{i+1}(\Delta t)$$

gdzie: $\Phi_{iq}(\Delta t)$ | wielomian stopnia pierwszego

warunek interpolacji dla punktów $i+1, i+2, \dots, i+q-1$ jest spełniony dla każdego Φ

a dla brzegów: i oraz $i+q$ jeśli dodatkowo:

$$\begin{aligned} \Phi_{iq}(\Delta t_i) &= 1 \\ \Phi_{iq}(\Delta t_{i+q}) &= 0 \end{aligned}$$

$$R_q^i(\Delta t) = \Phi_{iq}(\Delta t)R_{q-1}^i(\Delta t) + (1 - \Phi_{iq}(\Delta t))R_{q-1}^{i+1}(\Delta t) \quad \Bigg|$$

$$\left. \begin{array}{l} \Phi_{iq}(\Delta t_i) = 1 \\ \Phi_{iq}(\Delta t_{i+q}) = 0 \end{array} \right| \xrightarrow{\text{red arrow}} \Phi_{iq}(\Delta t) = \frac{\Delta t_{i+q} - \Delta t}{\Delta t_{i+q} - \Delta t_i} \quad \Bigg|$$

co daje:

$$R_q^i(\Delta t) = \frac{(\Delta t_{i+q} - \Delta t)R_{q-1}^i(\Delta t) + (\Delta t - \Delta t_i)R_{q-1}^{i+1}(\Delta t)}{\Delta t_{i+q} - \Delta t_i} \quad \Bigg|$$

następnie ekstrapolujemy

wynik do zerowego kroku czasowego

$$R_q^i(\Delta t = 0) = R_q^i \quad \Bigg|$$

$$R_q^i = \frac{\Delta t_{i+q}R_{q-1}^i - \Delta t_i R_{q-1}^{i+1}}{\Delta t_{i+q} - \Delta t_i} \quad \Bigg|$$

wzór na generowanie przybliżenia wg ekstrapolacji Richardsona
wyższego rzędu

Algorytm Aitkena-Nevilla

$$R_q^i = \frac{\Delta t_{i+q} R_{q-1}^i - \Delta t_i R_{q-1}^{i+1}}{\Delta t_{i+q} - \Delta t_i}$$

rośnie rząd wielomianu interpolacyjnego

$\Delta t(i)$	q=0	q=1	q=2	q=3	q=4
i=0	●	●	●		
i=1	●	●	●	itd	
i=2	●	●	●		
i=3	●	●			
i=4	●				

maleje krok czasowy

wynik schematu dla chwili t
uzyskane z krokiem Δt_i

wyniki ekstrapolacji
Richardsona rzędu q

Przykład:

$u'(t) = -u$, $u(0) = 1$, interesuje nas wartość u w chwili $t=1$

stosujemy jawny schemat Eulera i 9 różnych kroków czasowych $\Delta t(i) = 2^{-i}$

dla $\Delta t(i)$ wykonujemy 2^i kroków aby dotrzeć do chwili $t=1$ i dostajemy wyniki:

i	w(t=1)
0	0.0000000
1	0.2500000
2	0.3164062
3	0.3436089
4	0.3560741
5	0.3620553
6	0.3649865
7	0.3664377
8	0.3671598

z błędem

i	exp(-1)-w(t=1)
0	0.368
1	0.118
2	0.515E-01
3	0.243E-01
4	0.118E-01
5	0.582E-02
6	0.289E-02
7	0.144E-02
8	0.720E-03

widzimy liniową zbieżność metody Eulera

tabela ekstrapolacji AN

i q=0 1 2 3 4 5 6 7 8

0	0.0000000	0.5000000	0.3437500	0.3701057	0.3677749	0.3678819	0.3678794	0.3678794	0.3678794
1	0.2500000	0.3828125	0.3668113	0.3679206	0.3678786	0.3678795	0.3678794	0.3678794	
2	0.3164062	0.3708116	0.3677819	0.3678812	0.3678794	0.3678794	0.3678794		
3	0.3436089	0.3685393	0.3678688	0.3678795	0.3678794	0.3678794			
4	0.3560741	0.3680364	0.3678782	0.3678794	0.3678794				
5	0.3620553	0.3679178	0.3678793	0.3678794					
6	0.3649865	0.3678889	0.3678794						
7	0.3664377	0.3678818							
8	0.3671598								

.3678794412

$$R_q^i = \frac{\Delta t_{i+q} R_{q-1}^i - \Delta t_i R_{q-1}^{i+1}}{\Delta t_{i+q} - \Delta t_i}$$

$$\Delta t(i) = 2^{-i}$$

błąd

dla q=1 : $2R_0^{i+1} - R_0^i$

dla q=2: $-4/3(R_1^i/4 - R_1^{i+1})$ itd.

0	0.368	-0.132	0.241E-01	-0.223E-02	0.105E-03	-0.250E-05	0.399E-07	0.896E-08	0.915E-08
1	0.118	-0.149E-01	0.107E-02	-0.411E-04	0.847E-06	0.218E-09	0.920E-08	0.915E-08	
2	0.515E-01	-0.293E-02	0.975E-04	-0.178E-05	0.267E-07	0.906E-08	0.915E-08		
3	0.243E-01	-0.660E-03	0.106E-04	-0.860E-07	0.961E-08	0.915E-08			
4	0.118E-01	-0.157E-03	0.125E-05	0.363E-08	0.916E-08				
5	0.582E-02	-0.383E-04	0.160E-06	0.882E-08					
6	0.289E-02	-0.946E-05	0.277E-07						
7	0.144E-02	-0.234E-05							
8	0.720E-03								

najdokładniej

błąd przestaje maleć (skończona dokładność arytmetyki)

0	0.368	-0.132	0.241E-01	-0.223E-02	0.105E-03	-0.250E-05	0.399E-07	0.896E-08	0.915E-08
1	0.118	-0.149E-01	0.107E-02	-0.411E-04	0.847E-06	0.218E-09	0.920E-08	0.915E-08	
2	0.515E-01	-0.293E-02	0.975E-04	-0.178E-05	0.267E-07	0.906E-08	0.915E-08		
3	0.243E-01	-0.660E-03	0.106E-04	-0.860E-07	0.961E-08	0.915E-08			
4	0.118E-01	-0.157E-03	0.125E-05	0.363E-08	0.916E-08				
5	0.582E-02	-0.383E-04	0.160E-06	0.882E-08					
6	0.289E-02	-0.946E-05	0.277E-07						
7	0.144E-02	-0.234E-05							
8	0.720E-03								

↑
podobny błąd uzyskuje się bez e. Richardsona ($q=0$) dla $i = 22$

aby wykonać rachunek z $i=22$ potrzeba $2^{22}= 4.2$ miliona kroków czasowych

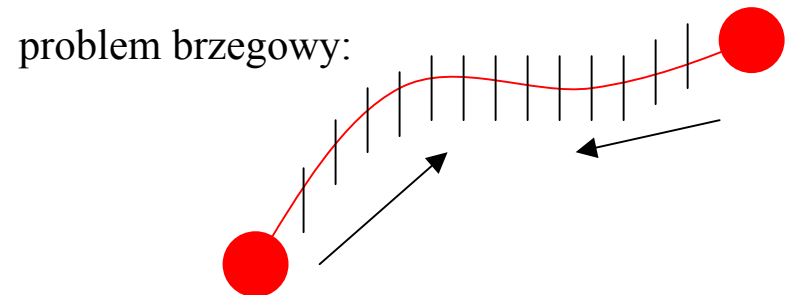
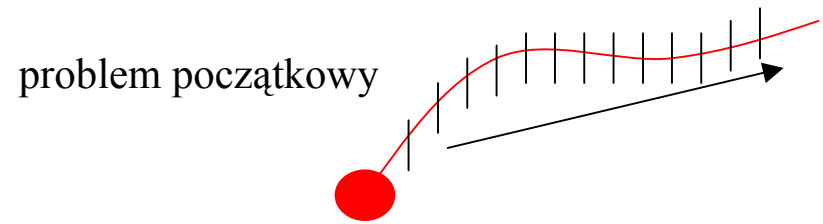
w ekstrapolacji Richardsona z algorytmem AN
wygenerowanie przybliżeń rzędu $q=0$ kosztuje
($1+2+4+ \dots + 256$)= $2^9-1 = 511$ kroków czasowych

generacja tabeli AN jest (prawie) darmowa

co ilustruje nam potencjał ekstrapolacji R. w redukcji błędów

Równania różniczkowe zwyczajne: problem brzegowy [1D]

- 1) Równania różniczkowe **zwyczajne** jako szczególny przypadek problemów opisywanych przez eliptyczne równania cząstkowe
- 2) Problem brzegowy a problem początkowy (*case study*)
- 3) Metoda różnic skończonych (idea, rozwinięcie później)
- 4) Metoda Numerowa
- 5) Metoda strzałów



mówiliśmy, o równaniach różniczkowych
zwyczajnych opisujących wielkości
dane funkcjami **wyłącznie czasu**,
z warunkiem początkowym.

$$\begin{aligned} u(t = 0) &= u_0 \\ \frac{du(t)}{dt} &= f(t, u) \end{aligned}$$

równania różniczkowe cząstkowe: zależności **od czasu i położenia**
pola elektrycznego, rozkładu temperatury, prędkości przepływu itp.

modelowe równania przy jednym wymiarze przestrzennym $u(x, t)$:

$$\frac{\partial u}{\partial t} = \frac{\partial^2 u}{\partial x^2} \quad \text{dyfuzji ciepła (paraboliczne)}$$

$$\frac{\partial^2 u}{\partial x^2} = f(x) \quad \text{Poissona (eliptyczne)}$$

$$\frac{\partial^2 u}{\partial x^2} = f(x)$$

eliptyczne niezależne od czasu:
 $u = u(x)$ – wyłącznie funkcja położenia
 stany ustalone, równowagowe itp.

równania elektrostatyki, ustalony transport ciepła,
 przepływy cieczy w stanie ustalonym, etc.

$$\cancel{\frac{\partial u}{\partial t}} = \frac{\partial^2 u}{\partial x^2} + S(x)$$



Problem brzegowy: równanie różniczkowe (na razie zwyczajne)
 + warunek na rozwiązanie na brzegu. **1D – brzeg to 2 punkty**

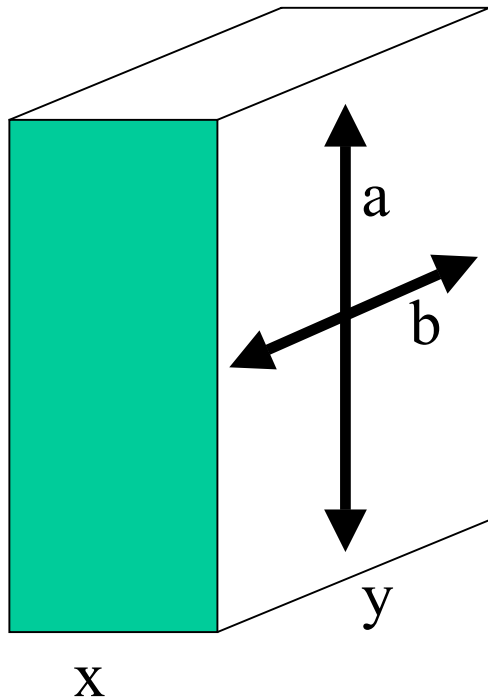
warunki brzegowe w 1D: na początku ($x=0$) i końcu pudła
 obliczeniowego ($x=L$)

- 1) na wartość funkcji (Dirichleta) $u(0)=a$, $u(L)=b$
- 2) na pochodną funkcji (Neumanna) $u'(0)=a$, $u'(L)=b$
- 3) mieszane (Robina) $u(0)+cu'(0)=a$, $u(L)+du'(L)=b$

Przykład nr 1)

$$\frac{\partial^2 u}{\partial x^2} + \frac{\partial^2 u}{\partial y^2} + \frac{\partial^2 u}{\partial z^2} = -4\pi\rho(x)$$

równanie Poissona (jednostki atomowe),
gęstość ładunku zależna tylko od x
*albo rozkład temperatury w jednorodnej
sztabce ze źródłami ciepła
w kąpielii cieplnej*



układ jednorodny i rozległy
w (y, z)

+ warunki brzegowe niezależne
od y i z [płaski kondensator]

interesuje nas rozkład potencjału w środku
układu

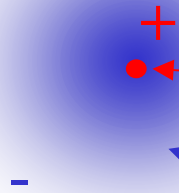
$$u(x, y, z) = u(x) \quad \frac{\partial^2 u}{\partial x^2} = -4\pi\rho(x)$$

warunki brzegowe: Dirichleta: wartość potencjału (temperatury)
: Neumana: wartość pola elektrycznego (strumienia ciepła)

P2: problem o wysokiej sferycznej symetrii

r-odległość od początku układu wsp.

atom wodoru: obiekt sferyczny 3D **jądro** + **elektron**



gęstość ładunku jądra: $p(r)=+\delta(r)$ (jednostki atomowe)

gęstość ładunku elektronowego zależy tylko od odległości od jądra: $n(r)=-\exp(-2r)/\pi$.

$$\nabla^2 \phi_t = -4\pi(p(r) + n(r))$$

$$\int d^3r p(r) = - \int d^3r n(r) = 1$$

$$\mathbf{E} = -\nabla \phi_t$$

równanie jest liniowe

$$\nabla^2 \phi_+ = -4\pi p(r)$$

$$\nabla^2 \phi = -4\pi n(r)$$

zasada superpozycji: $\phi_t = \phi + \phi_+$

$$\nabla^2 \phi_+ = -4\pi p(r)$$

laplasjan we współrzędnych sferycznych

$$\nabla^2 = \frac{1}{r^2} \frac{\partial}{\partial r} \left(r^2 \frac{\partial}{\partial r} \right) + \frac{1}{r^2} \left(\frac{1}{\sin^2(\phi)} \frac{\partial^2}{\partial \theta^2} + \frac{1}{\tan(\phi)} \frac{\partial}{\partial \phi} + \frac{\partial^2}{\partial \phi^2} \right)$$

$$\frac{1}{r^2} \frac{d}{dr} \left(r^2 \frac{d\phi_+}{dr} \right) = -4\pi \delta^3(r)$$

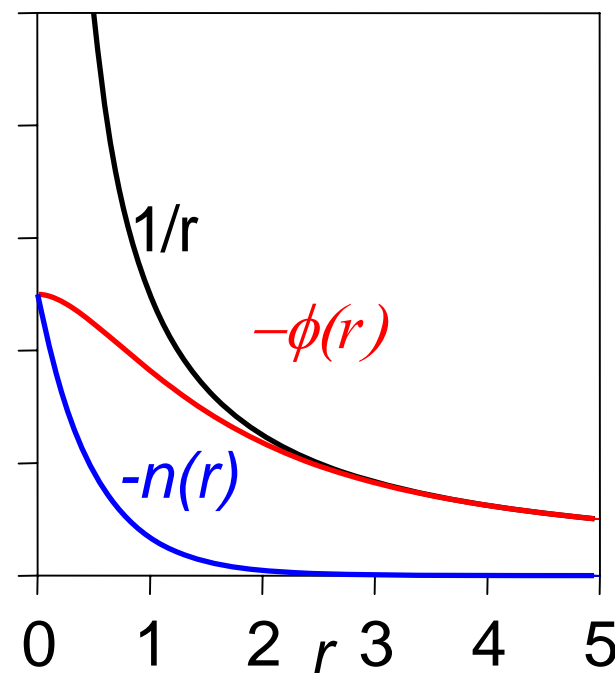
„punktowy ładunek
o nieskończonej gęstości w $r=0$ ”

$$\phi_+ = 1/r$$

składowa od gęstości elektronowej $n(r) = -\exp(-2r)/\pi$.

$$\nabla^2 \phi = -4\pi n(r)$$

$$\phi = -\frac{1}{r} + \frac{(r+1)\exp(-2r)}{r}$$

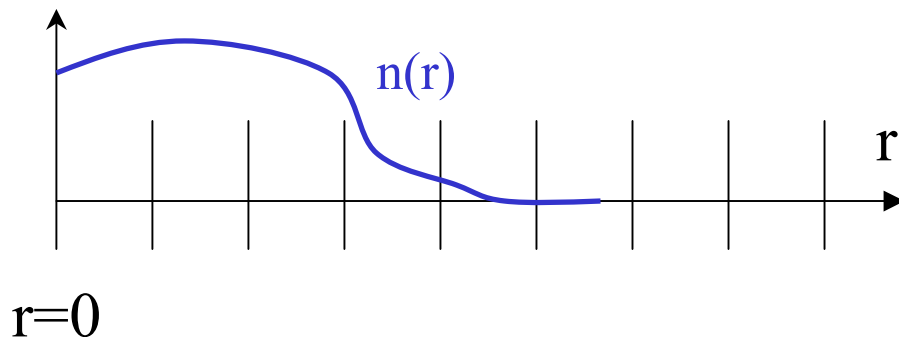


$$\nabla^2 \phi = -4\pi n(r) \quad n(r) = -\exp(-2r)/\pi.$$

$$\phi = -\frac{1}{r} + \frac{(r+1)\exp(-2r)}{r}$$

gdy $n(r)$ nieznane w postaci analitycznej – pozostaje rachunek numeryczny

numeryczny rachunek ϕ dla rozciągłej gęstości ładunku o symetrii sferycznej n :



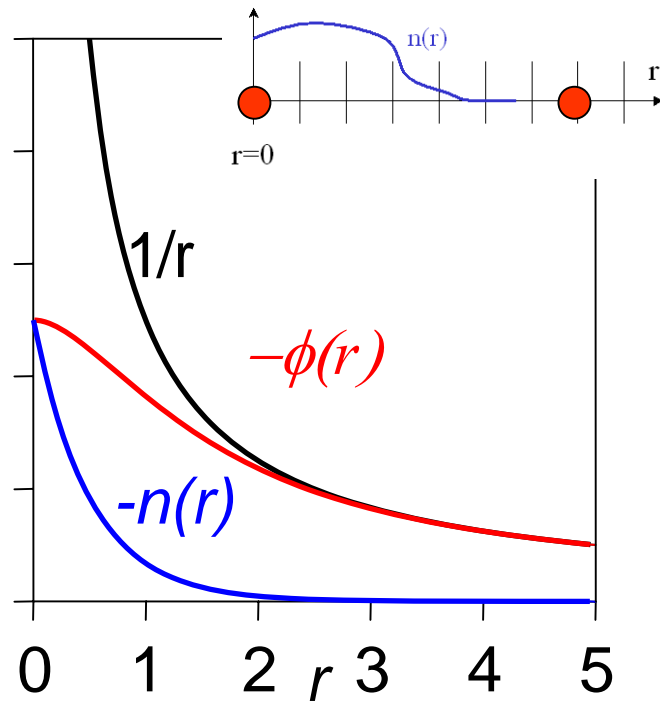
$$\frac{1}{r^2} \frac{d}{dr} \left(r^2 \frac{d\phi}{dr} \right) = -4\pi n$$

zdyskretyzować równanie – zamiast wartości dla ciągłych r – wartości dyskretne

Zamiast pochodnych ilorazy różnicowe

zamiast równania różniczkowego - algebraiczny **układ** równań

potrzebne warunki brzegowe na potencjał ϕ ($r=0$ oraz duże r)



$$\oint dS \mathbf{E} = \int dV \nabla \cdot \mathbf{E} = - \int dV \nabla^2 \phi$$

tw. Gaussa

$$\mathbf{E} = -\nabla \phi$$

r. Poissona
+ jakobian

$$(*) \quad 4\pi R^2 E = 4\pi \int_0^R r^2 n(r) dr \quad \left| \quad \nabla^2 \phi = -4\pi n(r) \right.$$

duże R – całka dąży jedynki (normalizacja n)

duże R : $E(R) = 1/R^2$, $\phi = -1/R$

gdy powierzchnia pudła obliczeniowego obejmuje cały ładunek - potencjał $-1/r$ – jak dla punktowego

gdy rozkład gęstości rozciąły:

2) potencjał skończony dla $r=0$ (zamiast osobliwości $1/r$)

3) jego pochodna znika w $r=0$ [$E=0$ dla małego r – patrz drugie równanie (*)]

WB: dla dużego r :	$\phi(r) = 1/r$	(Dirichlet)
dla małego r :	$d\phi(r)/dr = 0$	(Neumann)

WB Neumanna – trudniejszy w zastosowaniu, chcemy go przekształcić w warunek Dirichleta

$$\frac{1}{r^2} \frac{d}{dr} \left(r^2 \frac{d\phi}{dr} \right) = -4\pi\delta^3(r)$$

$$\phi(r) = \frac{f(r)}{r} \rightarrow \frac{d^2 f}{dr^2} = -4\pi r n \quad \Bigg|$$

warunki brzegowe na f

$f(0)=0$ bo $\phi(0)$ skończone, $f(r=\text{duże})=-1$ bo $\phi(r=\text{duże})=-1/r$.

spróbujemy ten problem rozwiązać numerycznie

$$\frac{d^2 f}{dr^2} = -4\pi r n \quad \left| \quad + f(0)=0, f(R)=-1, \text{ gdzie } R \text{ promień pudła obliczeniowego} \right|$$

obejmujący całe n

Iloraz różnicowy drugiej pochodnej

$$u(x + \Delta x) = u(x) + \Delta x \frac{du}{dx} + \frac{\Delta x^2}{2} \frac{d^2 u}{dx^2} + \frac{\Delta x^3}{6} \frac{d^3 u}{dx^3} + O(\Delta x^4) \quad (1)$$

$$u(x - \Delta x) = u(x) - \Delta x \frac{du}{dx} + \frac{\Delta x^2}{2} \frac{d^2 u}{dx^2} - \frac{\Delta x^3}{6} \frac{d^3 u}{dx^3} + O(\Delta x^4) \quad (2)$$

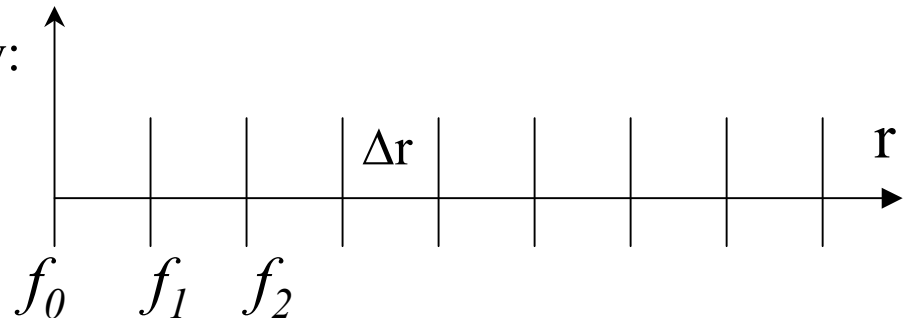
(1) plus (2) trójpunktowy iloraz drugiej pochodnej

$$\frac{d^2 u}{dx^2} = \frac{u(x + \Delta x) - 2u(x) + u(x - \Delta x)}{\Delta x^2} + O(\Delta x^2)$$

do rozwiązania problem algebraiczny:

$$f_0=0, f_N=-1$$

$$\frac{f_{i+1} - 2f_i + f_{i-1}}{\Delta r^2} = -4\pi r_i n_i$$



$$f_{i+1} - 2f_i + f_{i-1} = -4\pi\Delta r^2 r_i n_i$$

$$f_0=0, f_N=-1$$

$$\begin{pmatrix} 1 & 0 & 0 & 0 & 0 & 0 & \dots & 0 \\ 1 & -2 & 1 & 0 & 0 & 0 & \dots & 0 \\ 0 & 1 & -2 & 1 & 0 & 0 & \dots & 0 \\ & & & \dots & & & & \\ 0 & \dots & 0 & 1 & -2 & 1 & 0 & 0 \\ 0 & 0 & \dots & 0 & 1 & -2 & 1 & 0 \\ 0 & 0 & 0 & \dots & 0 & 1 & -2 & 1 \\ 0 & 0 & 0 & \dots & 0 & 0 & 0 & 1 \end{pmatrix} \begin{pmatrix} f_0 \\ f_1 \\ f_2 \\ \dots \\ f_{N-3} \\ f_{N-2} \\ f_{N-1} \\ f_N \end{pmatrix} = \begin{pmatrix} 0 \\ -4\pi\Delta r^2 r_1 n_1 \\ -4\pi\Delta r^2 r_2 n_2 \\ \dots \\ \dots \\ \dots \\ -4\pi\Delta r^2 r_{N-1} n_{N-1} \\ -1 \end{pmatrix}$$

Układ równań liniowych rozwiązać i po sprawie.

ale: dokładność rachunku ograniczona dokładnością ilorazu różnicowego drugiej pochodnej

poznaliśmy świetne metody do rozwiązywania problemu początkowego

może je spróbować zastosować?

$$f_{i+1} - 2f_i + f_{i-1} = -4\pi\Delta r^2 r_i n_i$$

alternatywa:

ustawmy ten wzór jak dla problemu początkowego
(jak liniową metodę wielokrokową):

$$f_{i+1} = 2f_i - f_{i-1} - 4\pi\Delta r^2 r_i n_i$$

nasz problem początkowy - drugiego rzędu
dla warunku początkowego: potrzebna funkcja+pochodna
tzn. f_0 i f_1

Powiedzmy, że znamy

1) f_0 [bo znamy]

2) f_1 [to powiedzmy, w naszym przykładzie znamy wzór
analityczny]

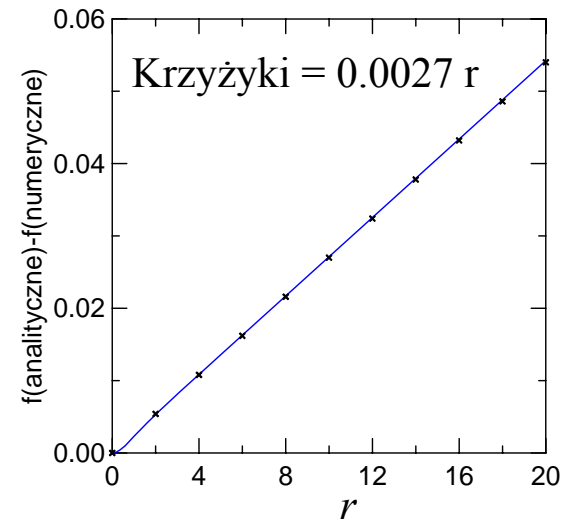
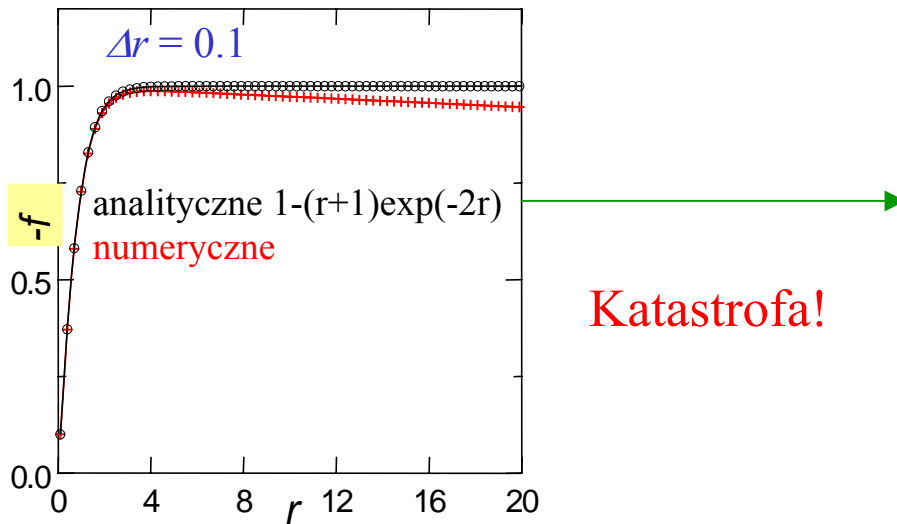
możemy więc wyliczyć f_2 i następne.

następnie: sprawdzimy, czy f_N spełni WB na prawym końcu.

Jeśli tak – problem rozwiązany

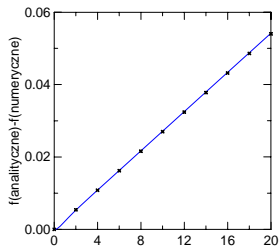
$$f_{i+1} = 2f_i - f_{i-1} - 4\pi\Delta r^2 r_i n_i$$

znamy $f_0=0$, f_1 wstawiamy z wzoru analitycznego, liczymy f_2 i następne.



(WB na prawym końcu nie spełniony:
rachunek numeryczny łamie prawo Gaussa
potencjał daleko od źródła nie będzie $-1/r$)

Błąd okazuje się liniowy
z r !



Błąd jest linowy z r !
Jak to zrozumieć?

Pod nieobecność ładunku:
(równanie Laplace'a)

$$\frac{d^2 f}{dr^2} = -4\pi r n$$

$$\frac{d^2 g}{dr^2} = 0$$

$g(r) = ar + b$.
u nas
powinno być
 $a=0, b=-1$

$$\frac{d^2 (f + g)}{dr^2} = -4\pi r n$$

rozwiązanie równania Laplace'a g (jednorodnego)
możemy zawsze dodać do rozwiązania równania Poissona f

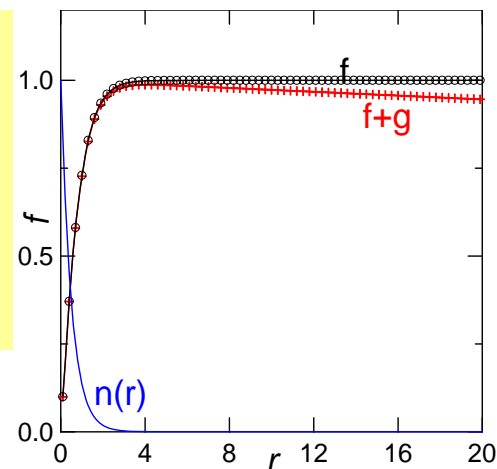
$g+f$ spełni równanie Poissona, ale nie bez konsekwencji dla warunków brzegowych

Trójpunktowy schemat różnicowy drugiej pochodnej się dla funkcji typu $ar+b$ się nie myli!

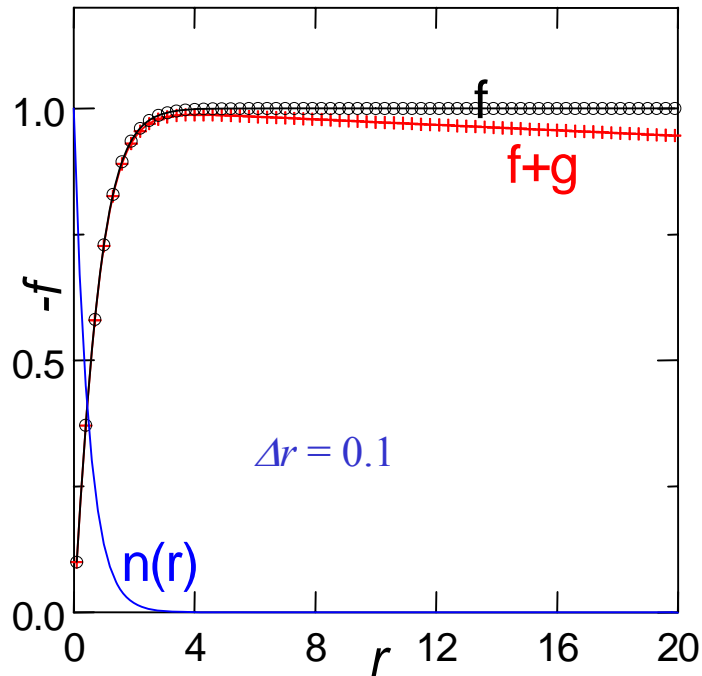
Wniosek:

Z obszaru w którym $n \neq 0$ iteracja wychodzi z błędem.

błąd z całkowania $n(r)$

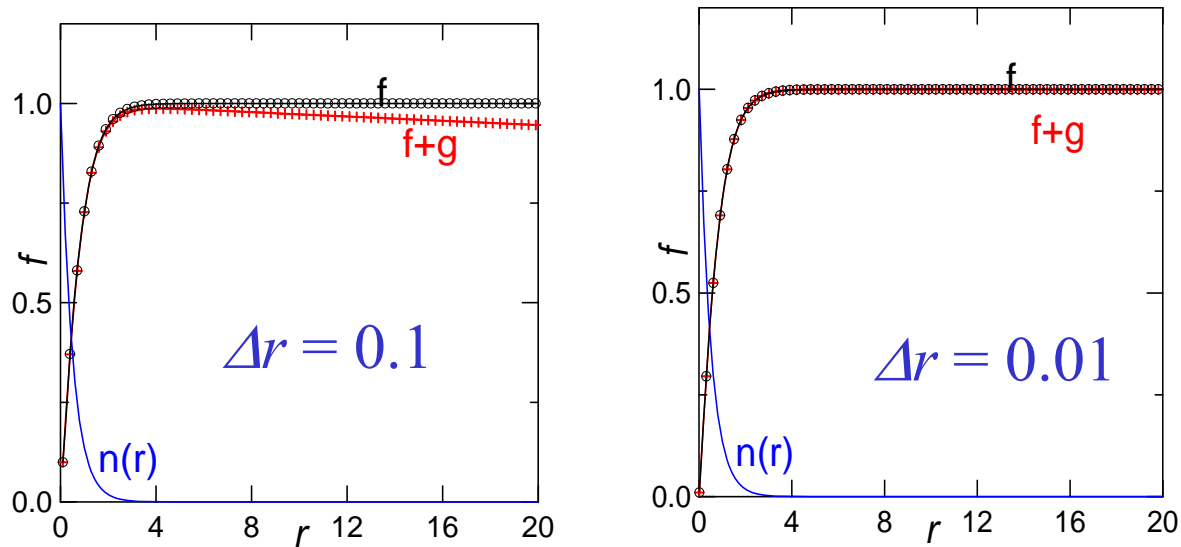


Cóż można poradzić żeby rozwiązanie numeryczne nie odklejało się od dokładnego dla dużych r ?



- rozwiązać jednak problem (URL) z narzuconymi warunkami brzegowymi z obydwu stron
- zagęścić siatkę
- scałkować równanie wstecz
- spróbować wykorzystać lepszą (dokładniejszą) metodę
- f_1 – zamiast analitycznego przyjąć taki, aby prawy warunek był spełniony (metoda strzałów)

Zagęścić siatkę (metoda brutalnej siły)



w f_I wstawiona wartość analityczna
przy drobnym kroku przestrzennym nie generuje widocznego błędu

widzieliśmy, że schemat wychodził poza zakres $n(r) < 0$
z błędem, pomysł: **scalkować równanie wstecz**

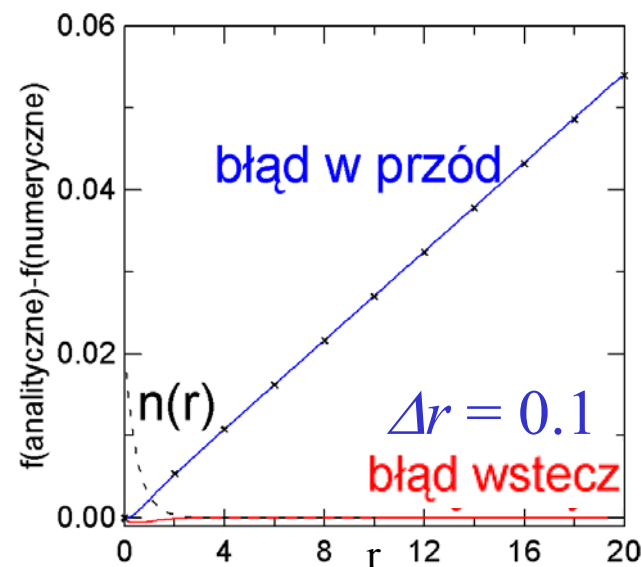
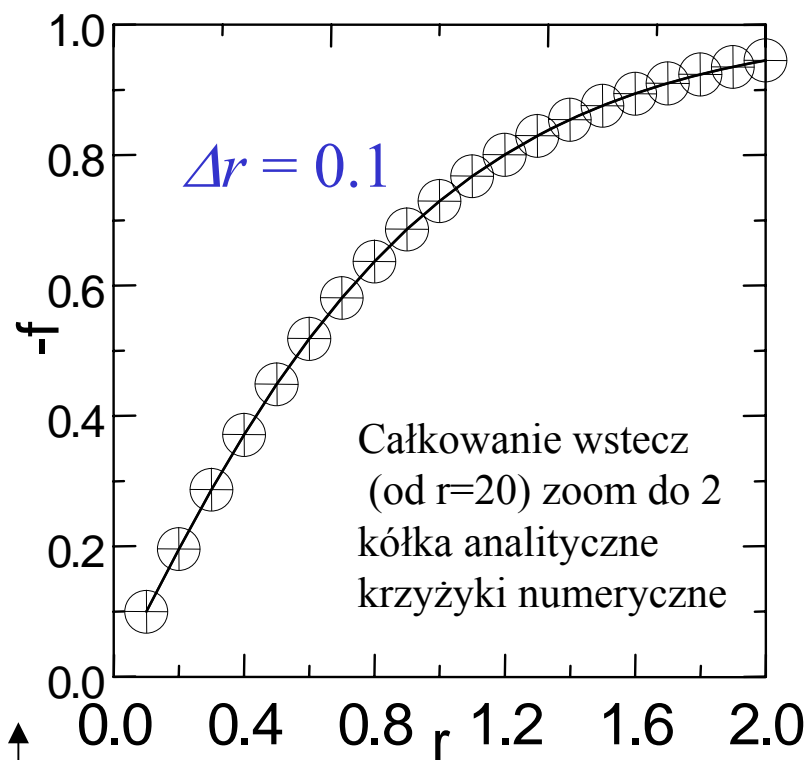
Zamiast do przodu:

$$f_{i+1} = -4\pi r_i \Delta r^2 n_i + 2f_i - f_{i-1} \quad \left| \quad f_0 = 0, f_I = \text{analityczne} \right.$$

scalkujemy wstecz:

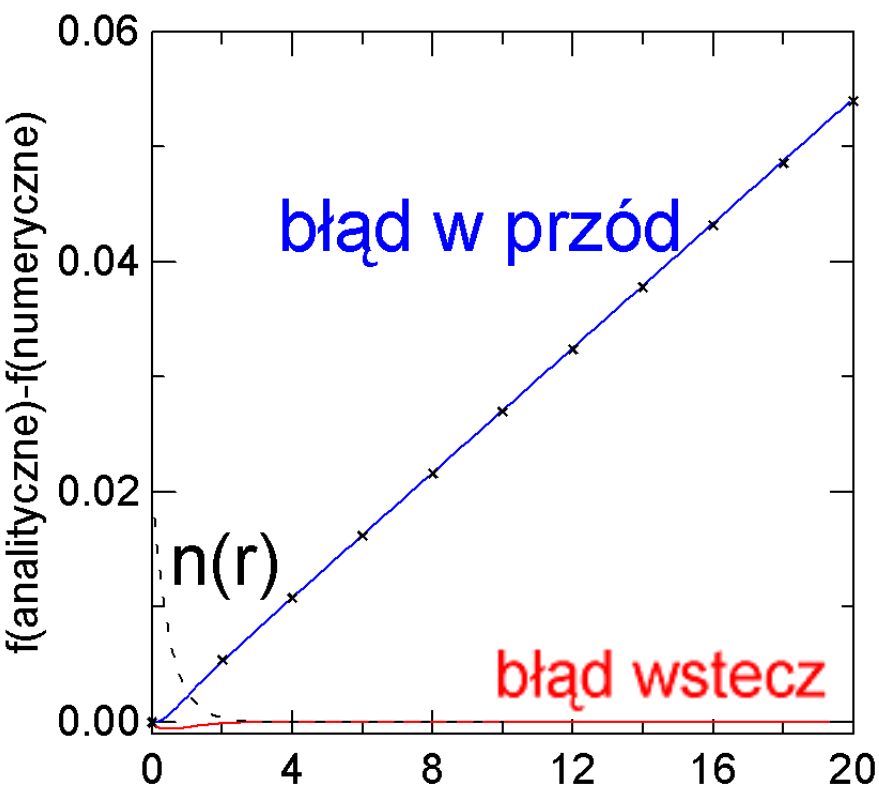
$$f_{i-1} = -4\pi r_i \Delta r^2 n_i + 2f_i - f_{i+1} \quad \left| \quad f_N = -1, f_{N-1} = -1 \right.$$

znamy potrzebne
2 wartości!



dla $r=0$: $f(\text{numeryczne}) = 6 \times 10^{-6}$
zamiast 0, lecz cóż to wobec jedynki?

Tam gdzie pojawia się ładunek, tam pojawiają się również błędy, ale nie narastają.



tajemnica naszego sukcesu:

Startowaliśmy w obszarze,
gdzie $n(r)$ znika czyli tam
obowiązuje r. Laplace'a:

$$g(r) = ar + b.$$

Ustawiliśmy jego rozwiązanie
na: $a=0$, $b=-1$.

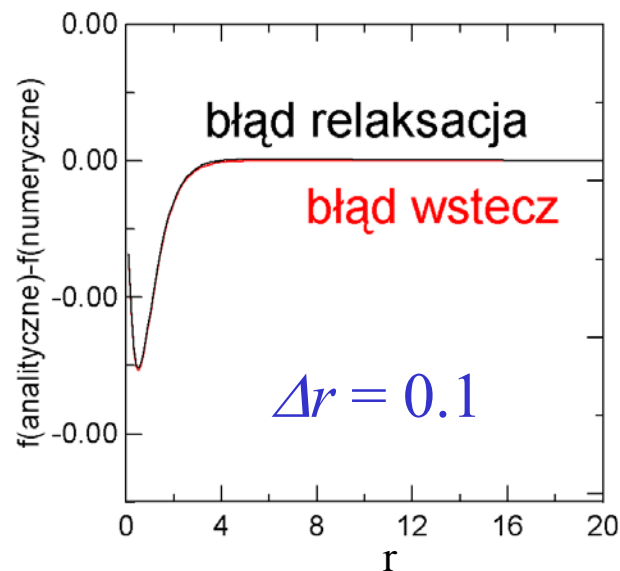
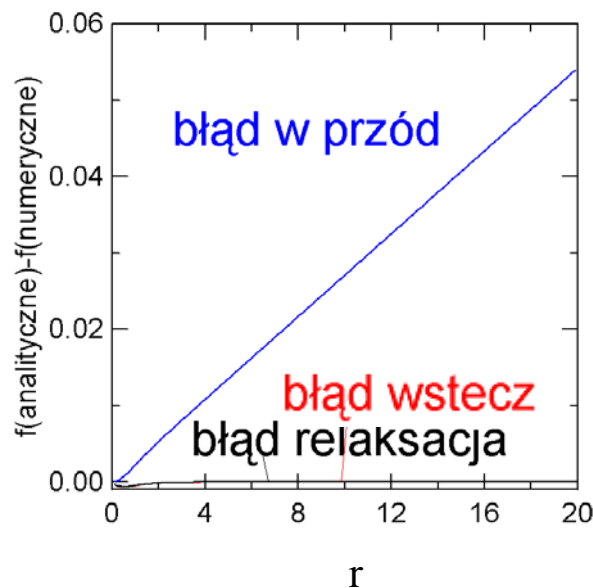
Dzięki temu: nie pozwoliliśmy
domieszać się rozwiązaniu
Laplace'a z innymi a i b

błąd pojawia się tam gdzie
ładunek, ale zbytnio nie rośnie

metoda różnic skończonych dla ustalonych WB

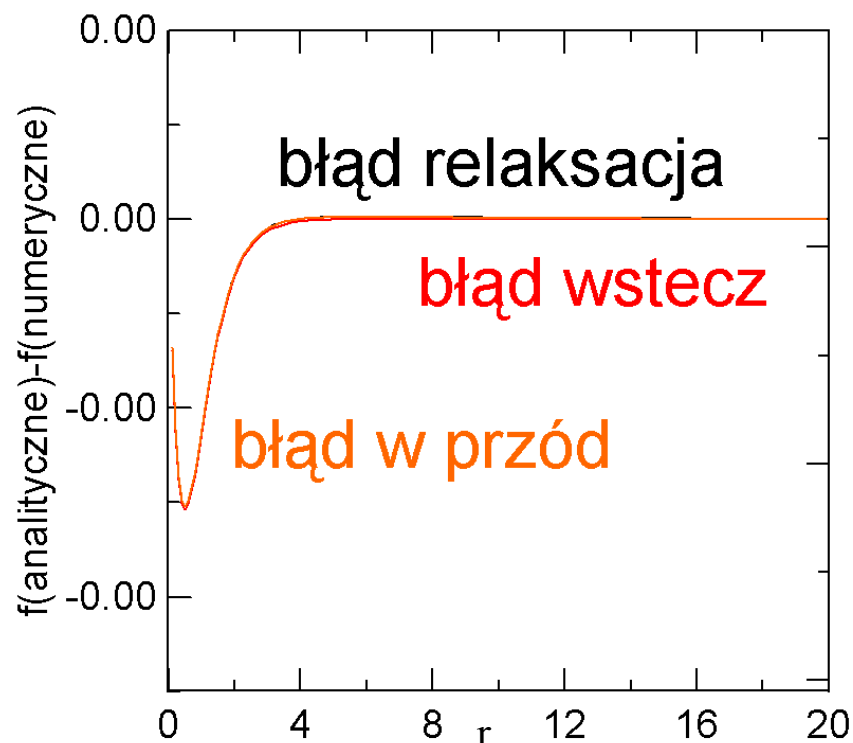
$$\left. \frac{f_{i+1} - 2f_i + f_{i-1}}{\Delta r^2} = -4\pi r_i n_i \right| \quad f_0=0, f_N=-1$$

$$f_i := (f_{i+1} + f_{i-1} + 4\pi \Delta r^2 r_i n_i) / 2 \quad \leftarrow \begin{array}{l} \text{układ równań} \\ \text{rozwiązany iteracyjnie,} \\ \text{(relaksacja)} \end{array}$$



rozwiązanie wstecz (gdzie właściwy WB w $r=0$ został odnaleziony)
nie gorsze od relaksacji, gdzie spełnienie obydwu WB jest wymuszone.
dlatego błąd w rozwiązaniu do przodu jest tak wielki?

znowu całkowanie do przodu, ale tym razem:



$f_0 = 0, f_I =$ wyliczone z relaksacji
zamiast wzoru analitycznego

dla $\Delta r = 0.1$ „dokładne”
rozwiązanie numeryczne jest
nieco inne niż analityczne.

(dokładne numeryczne: -0.0996
dokładne analityczne: -0.0993)

wniosek: błąd pierwszego podejścia polegał na
zastosowaniu analitycznego wyniku na f_1 !

Uwaga: to samo rozwiązanie uzyskujemy każdą z 3 metod.
cały błąd leży teraz w ograniczonej dokładności ilorazu różnicowego.

dla całkowania do przodu:

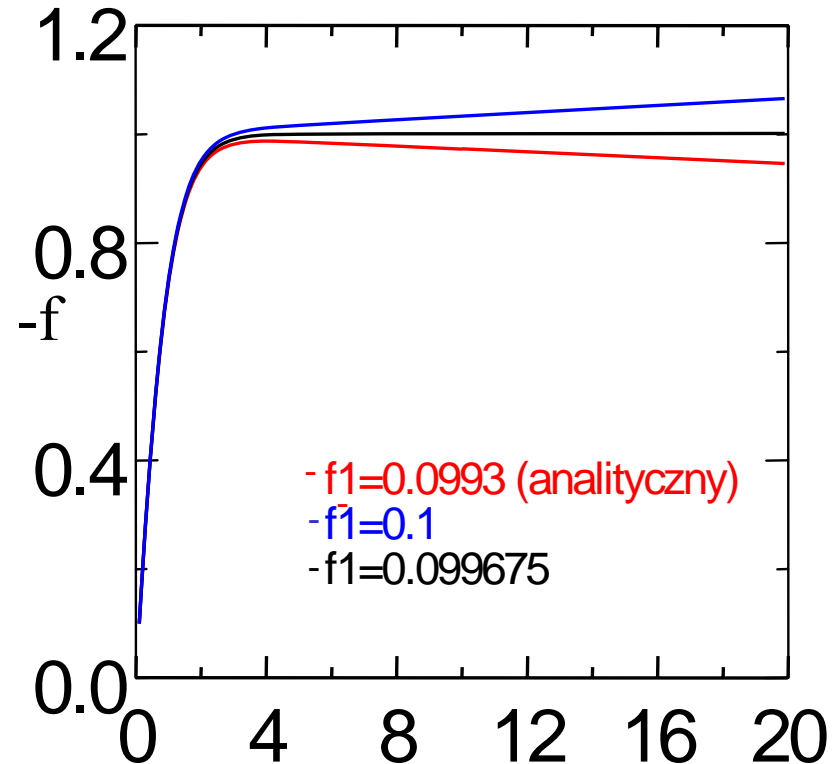
$$f_{i+1} = -4\pi r_i \Delta r^2 n_i + 2f_i - f_{i-1}$$

Jeśli f_1 nie jest równe analitycznemu
optymalne f_1 odgadniemy: **metoda strzałów**

$f_0=0$, f_1 dobieramy tak aby prawy wb
był odtworzony $f(r=\text{daleko})=-1$,
lub $f'(r=\text{daleko})=0$

metoda strzałów:

Służy do rozwiązania problemu brzegowego
przy pomocy podejścia dedykowanego
dla problemu początkowego: wstrzelić
należy się w (nieznany) parametr
określający przebieg = u nas f_1 .



$$\frac{f_{i+1} - 2f_i + f_{i-1}}{\Delta r^2} = -4\pi r_i n_i + O(\Delta r^2)$$

$$f_{i+1} = 2f_i - f_{i-1} - 4\pi \Delta r^2 r_i n_i + O(\Delta r^4)$$

najprostszy iloraz drugiej pochodnej
produkuje przepis z błędem lokalnym rzędu 4
całkiem nieźle, ale:

można lepiej = metoda Numerowa
błąd lokalny rzędu 6

metoda Numerowa:

[przepis na kolejne wartości rozwiązania liczone
z błędem $O(\Delta x^6)$ zamiast $O(\Delta x^4)$]:

Stosowana do równania typu:

$$\frac{d^2 y}{dx^2} + g(x)y = S(x)$$

[równanie liniowe II rzędu, bez pierwszej pochodnej]

równanie traktowane
metodą Numerowa:

$$\frac{d^2 y}{dx^2} + g(x)y = S(x)$$

$$\frac{1}{r^2} \frac{d}{dr} \left(r^2 \frac{d\phi}{dr} \right) = -4\pi n$$

oryginalne równanie Poissona

$$\frac{d^2 \phi}{dr^2} + \frac{2}{r} \frac{d\phi}{dr} = -4\pi n$$

występuje pochodna – nie podejmiemy
Numerowem

sprowadzone do wersji odpowiedniej dla Numerowa przez podstawienie

$$\phi(r) = \frac{f(r)}{r}$$

$$\frac{d^2 f}{dr^2} = -4\pi r n$$

Metoda Numerowa – wyprowadzenie:

$$\left. \frac{d^2 u(x)}{dx^2} = S(x) - g(x)u(x) \right|$$

$$u(x + \Delta x) = u(x) + \Delta x \frac{du}{dx} + \frac{\Delta x^2}{2} \frac{d^2 u}{dx^2} + \frac{\Delta x^3}{6} \frac{d^3 u}{dx^3} + \frac{\Delta x^4}{24} \frac{d^4 u}{dx^4} + \frac{\Delta x^5}{120} \frac{d^5 u}{dx^5} + O(\Delta x^6)$$

$$u(x - \Delta x) = u(x) - \Delta x \frac{du}{dx} + \frac{\Delta x^2}{2} \frac{d^2 u}{dx^2} - \frac{\Delta x^3}{6} \frac{d^3 u}{dx^3} + \frac{\Delta x^4}{24} \frac{d^4 u}{dx^4} - \frac{\Delta x^5}{120} \frac{d^5 u}{dx^5} + O(\Delta x^6) \quad \left| \right.$$

$$u(x + \Delta x) + u(x - \Delta x) = 2u(x) + \frac{2\Delta x^2}{2} \frac{d^2 u}{dx^2} + \frac{2\Delta x^4}{24} \frac{d^4 u}{dx^4} + O(\Delta x^6) \quad \left| \right.$$

$$\frac{d^2 u}{dx^2} = \frac{u(x + \Delta x) + u(x - \Delta x) - 2u(x)}{\Delta x^2} - \frac{\Delta x^2}{12} \frac{d^4 u}{dx^4} + O(\Delta x^4)$$

druga pochodna prawej strony
równania różniczkowego

$$\left. \frac{d^4 u}{dx^4} \right| = \frac{S(x + \Delta x) + S(x - \Delta x) - 2S(x)}{\Delta x^2} - \frac{g(x + \Delta x)u(x + \Delta x) + g(x - \Delta x)u(x - \Delta x) - 2g(x)u(x)}{\Delta x^2} + O(\Delta x^2)$$

po wstawieniu wyżej błąd pozostanie rzędu 4

$$\begin{aligned} & \frac{u(x + \Delta x) + u(x - \Delta x) - 2u(x)}{\Delta x^2} - \frac{\Delta x^2}{12} \left[\frac{S(x + \Delta x) + S(x - \Delta x) - 2S(x)}{\Delta x^2} \right. \\ & \quad \left. - \frac{g(x + \Delta x)u(x + \Delta x) + g(x - \Delta x)u(x - \Delta x) - 2g(x)u(x)}{\Delta x^2} \right] + O(\Delta x^4) \\ & = S(x) - g(x)u(x) \end{aligned}$$

Obustronnie mnożymy przez Δx^2 , grupujemy wyrazy

$$\begin{aligned} & \left(1 + \frac{\Delta x^2}{12}g(x + \Delta x)\right) u(x + \Delta x) - 2 \left(1 - \frac{5\Delta x^2}{12}g(x)\right) u(x) + \left(1 + \frac{\Delta x^2}{12}g(x - \Delta x)\right) u(x - \Delta x) \\ & = \frac{\Delta x^2}{12} (S(x + \Delta x) + 10S(x) + S(x - \Delta x)) + O(\Delta x^6) \end{aligned}$$

Podstawowa formuła metody Numerowa

wykorzystać – można na podobnie wiele sposobów
 tak - jak iloraz centralny drugiej pochodnej:
 np. problem brzegowy – z relaksacją
 lub jak problem początkowy

$$\left| \frac{d^2 y}{dx^2} + g(x)y = S(x) \right|$$

$$\left| \frac{d^2 f}{dr^2} = -4\pi r n \right|$$

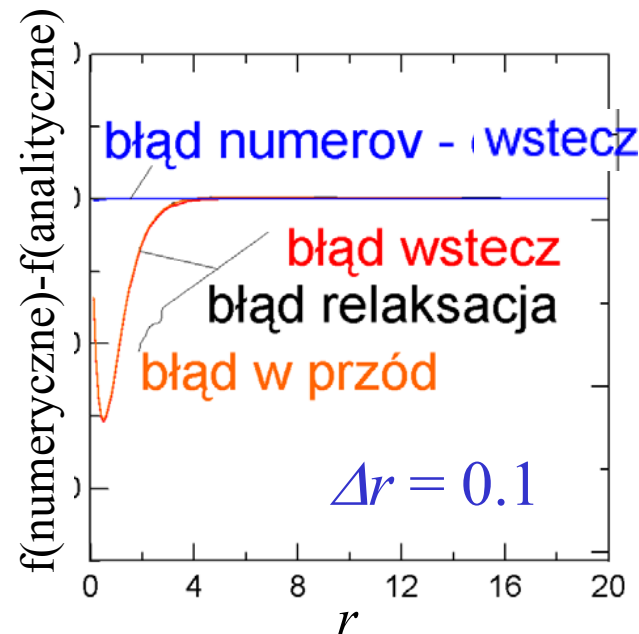
W naszym przykładzie: $g=0$, $S = -4\pi r n$

Metoda Numerowa wstecz:

$$f_{i-1} = \frac{\Delta r^2}{12} (S_{i+1} + 10S_i + S_{i-1}) + 2f_i - f_{i+1} + O(\Delta r^6)$$

Dyskretyzacja bezpośrednia:

$$f_{i-1} = \Delta r^2 S_i + 2f_i - f_{i+1} + O(\Delta r^4)$$



cała różnica w sposobie uwzględniania
niejednorodności (źródeł)

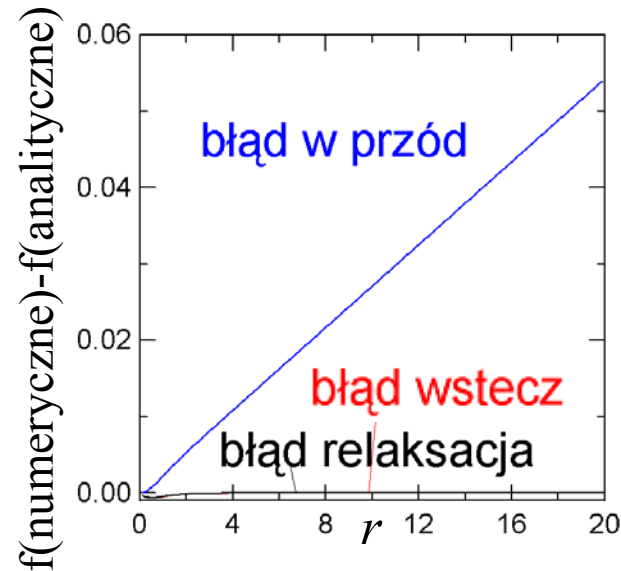
Przy tym samym skoku siatki
błąd Numerowa jest zanedbywalny w porównaniu
z błędem dyskretyzacji bezpośredniej.

$S(n)$ – wzywane trzykrotnie,
lecz można stabilizować,
złożoność obliczeniowa nie rośnie

metoda Numerowa w całkowaniu do przodu z analitycznym f_1



Przypominam wynik przy podejściu poprzednim:



Błąd jest podobnego pochodzenia ($\text{numeryczne} \leftrightarrow \text{analityczne}$) i podobnego charakteru (liniowy z r) ale znacznie mniejszy (błąd popełniony przez Numerowa w obszarze gdzie n nie znika – znacznie mniejszy)

Nie każde równanie różniczkowe zwyczajne można rozwiązać metodą Numerowa,
ale każde można w *sposób ścisły*
sprowadzić do układu równań pierwszego rzędu np:

$$\frac{d^2 u(x)}{dx^2} = S(x) - g(x)u(x) \quad \Bigg|$$



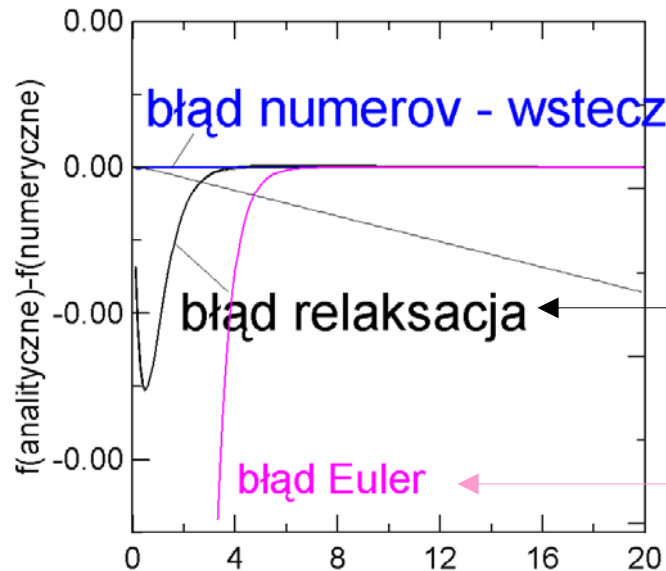
$$\frac{du}{dx} = v \quad \Bigg|$$

$$\frac{dv}{dx} = S(x) - g(x)u(x) \quad \Bigg|$$

Rozwiązywać takie układy równań już potrafimy

rozwiązujemy wstecz: $f(\text{duże } x) = -1$, $df/dx(\text{duże } x) = 0$

Równanie drugiego rzędu a układ równań pierwszego rzędu : dokładność



centralny iloraz różnicowy drugiej pochodnej

Euler: dyskretyzacja pierwszej pochodnej
po sprowadzeniu równania drugiego rzędu
do układu dwóch równań rzędu pierwszego
całkowany wstecz

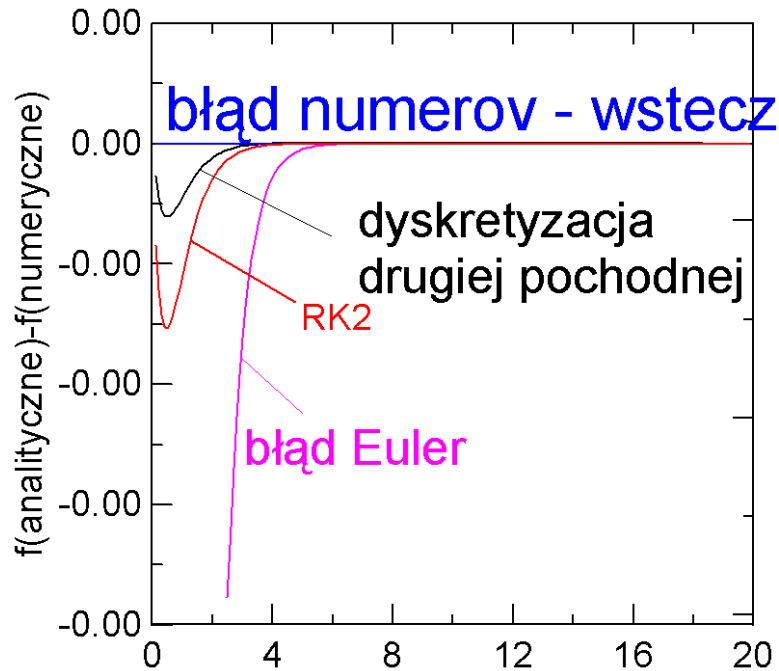
Euler $O(\Delta x^2)$

metoda z centralnym iloraz różnicowy drugiej pochodnej $O(\Delta x^4)$

Numerov $O(\Delta x^6)$

Redukcja rzędu równania przez sprowadzenie
do układu równań pierwszego rzędu ma swoją cenę.

Jak spisuje się RK2 ?



Euler $O(\Delta x^2)$

RK2 $O(\Delta x^3)$

Dyskretyzacja drugiej pochodnej
 $O(\Delta x^4)$

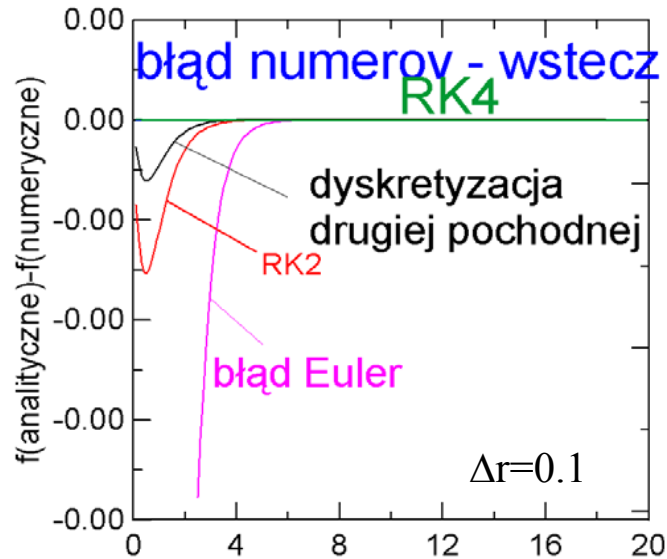
Numerow $O(\Delta x^6)$

Znacznie lepiej niż Euler, ale wciąż gorzej niż dyskretyzacja drugiej pochodnej.

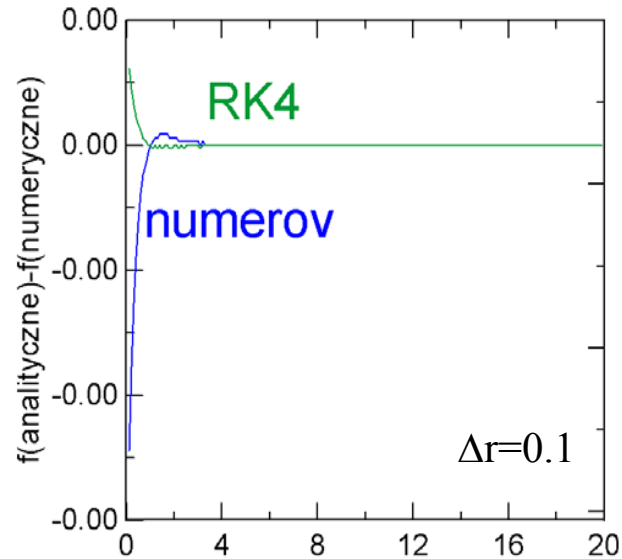
RK4: $O(\Delta x^5)$

Numerow $O(\Delta x^6)$

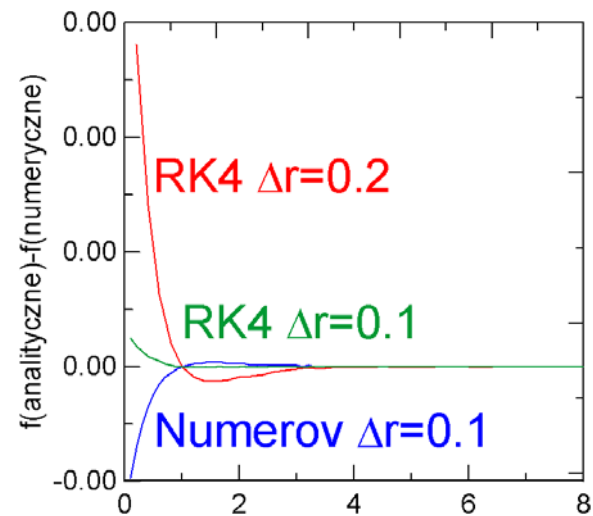
Dokładność bliska Numerowa



a nawet lepsza



Nieco słabsza od Numerowa, gdy
wziąć poprawkę na wzywanie
prawej strony w punktach pośrednich:



Przykład był nietypowy:

dla prawego brzegu: mogliśmy zadać
w sposób dokładny (analitycznie i numerycznie)
wartość rozwiązania w kroku ostatnim i przedostatnim.

W praktyce:

rzadko tak jest: rozwiązując problem brzegowy
metodami dla problemu początkowego
– musimy wyznaczyć wartość w punkcie
sąsiednim do brzegowego) – **metoda strzałów**

metoda strzałów dla dwupunktowych problemów brzegowych (zastosowanie metod do problemu początkowego)

... rozwiązanie problemu brzegowego przy pomocy metod dedykowanych do zagadnienia początkowego

istota metody: parametryzacja rozwiązań przy pomocy dodatkowego wb na jednym z końców
+ wybór parametru, który daje spełnienie prawego wb.

rozważmy 2-punktowy nieliniowy problem brzegowy drugiego rzędu

$$u''(x) = f(x, u, u') \quad \left| \quad a < x < b \quad \right| \quad \begin{cases} u(a) = A \\ u(b) = B \end{cases}$$

stowarzyszony problem początkowy:

$$\begin{aligned} y_1'(x) &= y_2(x) & y_1(a) &= A \\ y_2'(x) &= f(x, y_1, y_2) & y_2(a) &= \alpha \end{aligned}$$

w metodzie strzałów kluczowa zależność od swobodnego parametru α

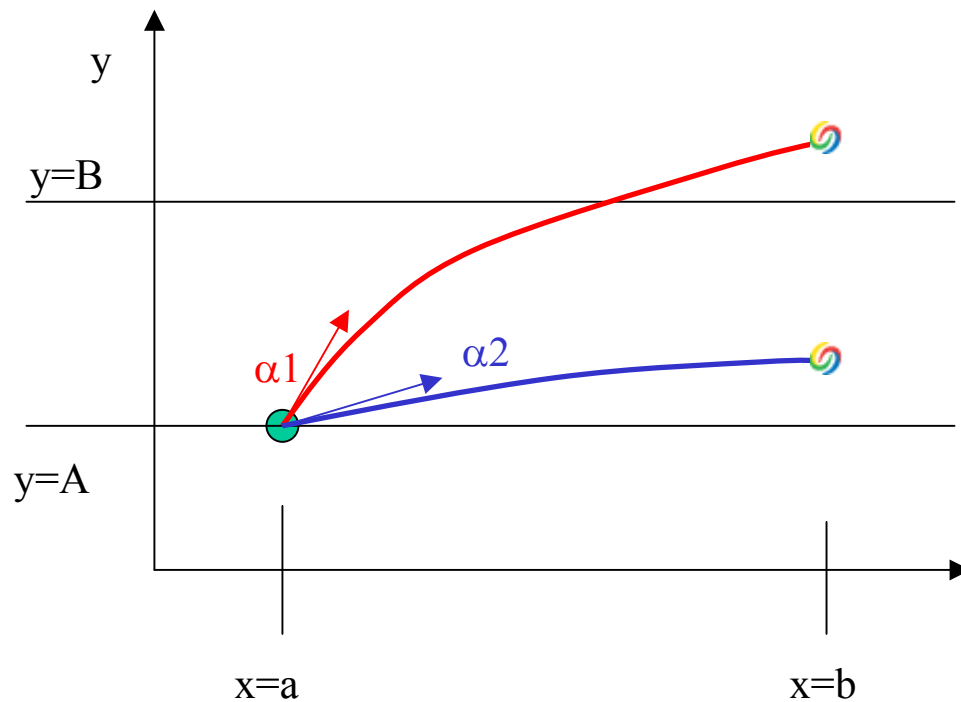
$$y_k(x) = y_k(x; \alpha) \quad \left| \right.$$

rozwiązywać będziemy problem początkowy szukając takiej wartości parametru swobodnego aby

$$y_1(b; \alpha) = B$$

problem sprowadza się do rozwiązania nieliniowego równania na α

metoda strzałów



$$\begin{aligned}y_1'(x) &= y_2(x) \\ y_2'(x) &= f(x, y_1, y_2)\end{aligned}$$

$$y_1(a) = A$$

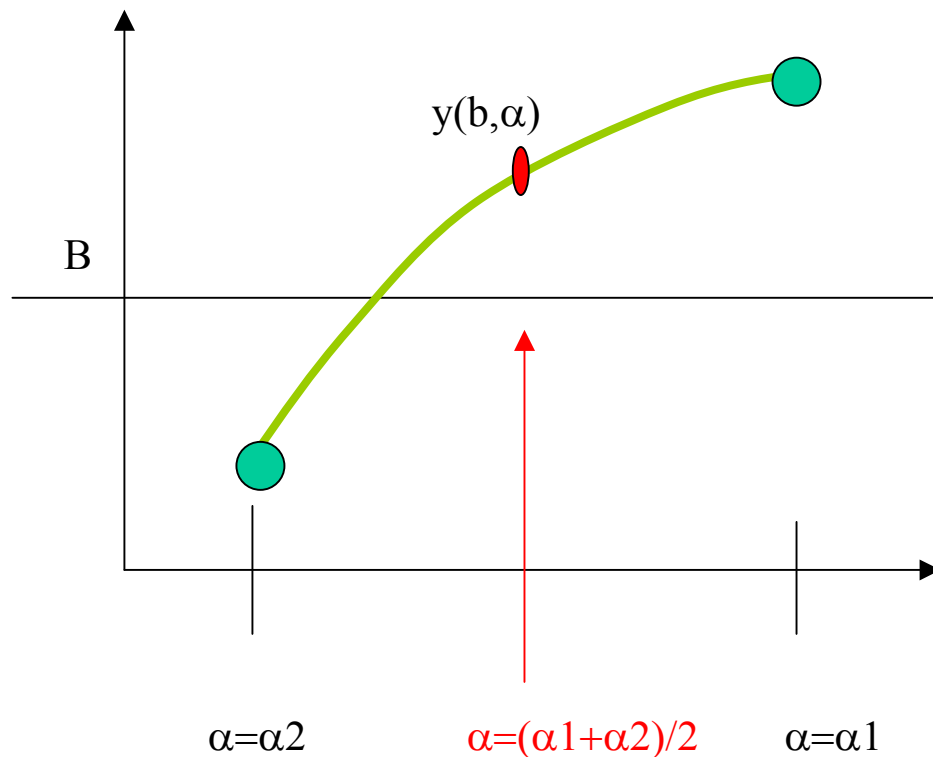
$$y_2(a) = \alpha$$

$$y_1(b; \alpha) = B$$

na rysunku: musimy trafić z pochodną w $x=a$ tak aby na końcu nasz „pocisk” trafił w $y=B$ (stąd nazwa metody)

$y_1(b; \alpha)$ zależy w sposób ciągły od α .
tutaj: α_1 za duża α_2 zbyt mała

metoda strzałów



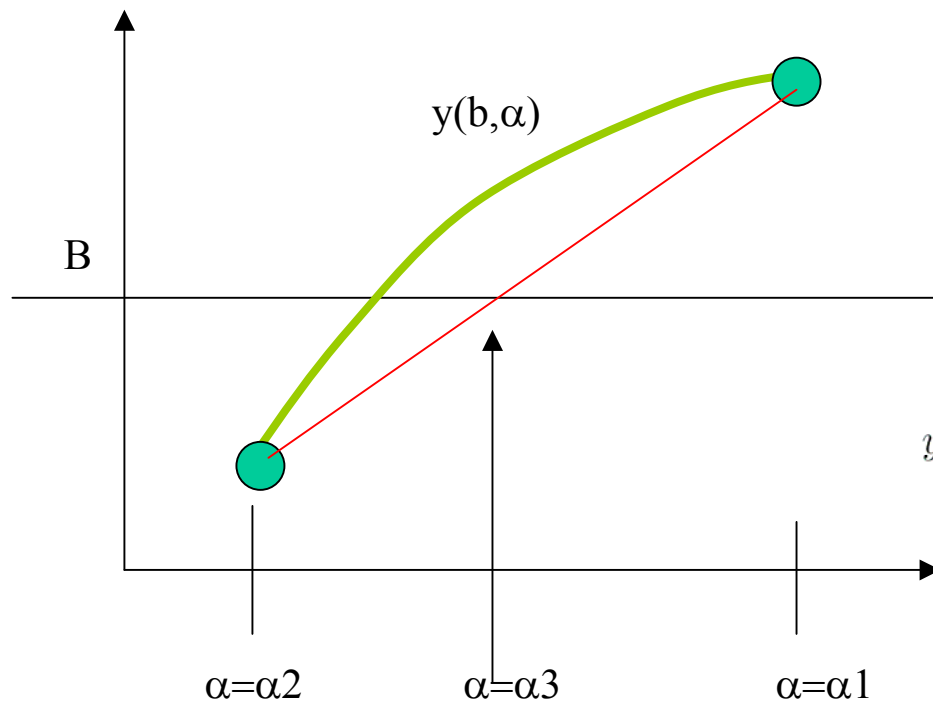
$$y_I(b; \alpha) = B$$

można rozwiązać **bisekcją**: wyliczyć $y_I(b; (\alpha_1 + \alpha_2)/2)$

i zawęzić przedział poszukiwania zera

kończymy gdy przedział wystarczająco zawężony

metoda strzałów



$$y_I(b; \alpha) = B$$

od bisekcja lepsza **metoda siecznych**
zakładamy, że $y(b, \alpha)$ jest liniowa
w okolicy α_1, α_2 prowadzimy interpolację :

$$y(b, \alpha) = y(b, \alpha_1) \frac{\alpha - \alpha_2}{\alpha_1 - \alpha_2} + y(b, \alpha_2) \frac{\alpha - \alpha_1}{\alpha_2 - \alpha_1}$$

B powinno znajdować się w

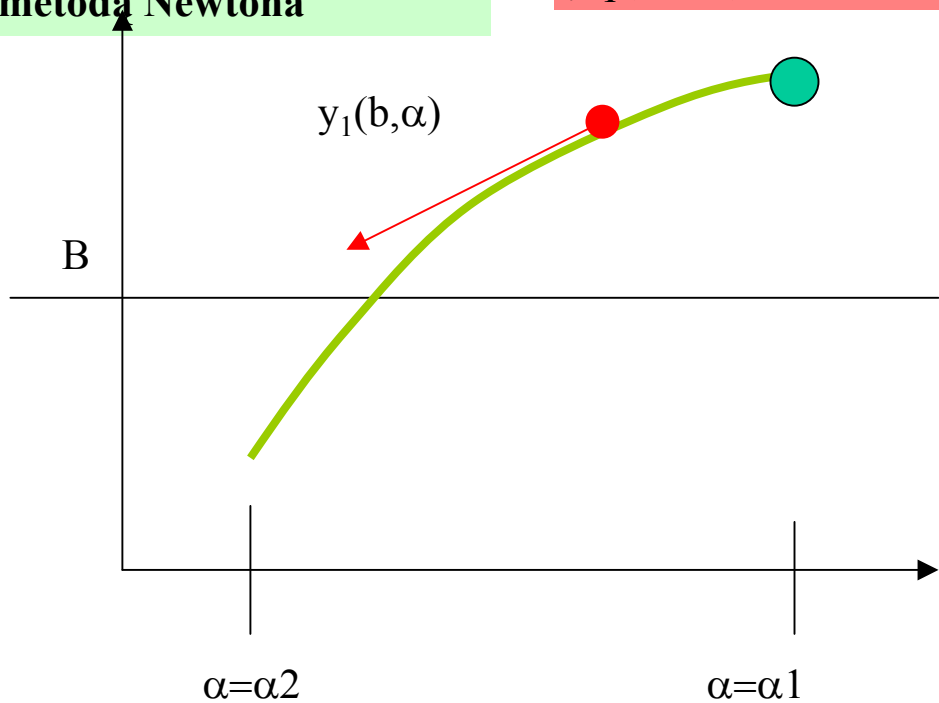
$$\alpha_3 \equiv \alpha := \frac{\alpha_2 y(b; \alpha_1) - \alpha_1 y(b; \alpha_2) + B(\alpha_1 - \alpha_2)}{y(b; \alpha_1) - y(b; \alpha_2)}$$

kończymy np., gdy $|y(b, \alpha_3) - B| < \varepsilon$

możliwe użycie zamiast prostej: wielomianu interpolacyjnego stopnia 2

metoda strzałów z
metoda Newtona

$$y_1(b; \alpha) - B = 0$$



można metodą Newtona

$$\alpha^{\mu+1} = \alpha^{\mu} - \frac{y_1(b; \alpha^{\mu}) - B}{\frac{\partial y_1(b; \alpha^{\mu})}{\partial \alpha^{\mu}}}$$

potrzebna pochodna po α
jak wyznaczyć:

$$\alpha^{\mu+1} = \alpha^{\mu} - \frac{y_1(b; \alpha^{\mu}) - B}{\frac{\partial y_1(b; \alpha^{\mu})}{\partial \alpha^{\mu}}} \quad \swarrow \text{wyznaczyć}$$

$y_1'(x) = y_2(x)$	$y_1(a) = A$
$y_2'(x) = f(x, y_1, y_2)$	$y_2(a) = \alpha$

różniczkujemy po α

$$\frac{d}{d\alpha} \frac{d}{dx} y_1(x; \alpha) = \frac{d}{d\alpha} y_2(x; \alpha)$$

$$z_1 = \frac{dy_1}{d\alpha}$$

$$z_1(a) = 0$$

nazywamy:

$$\frac{d}{d\alpha} \frac{d}{dx} y_2(x; \alpha) = \frac{d}{d\alpha} f(x, y_1, y_2)$$

$$z_2 = \frac{dy_2}{d\alpha}$$

$$z_2(a) = 1$$

$$\frac{df}{d\alpha} = \frac{df}{dy_1} \frac{dy_1}{d\alpha} + \frac{df}{dy_2} \frac{dy_2}{d\alpha}$$

$$\longrightarrow \frac{df}{d\alpha} = z_1 \frac{df}{dy_1} + z_2 \frac{df}{dy_2}$$

$$\alpha^{\mu+1} = \alpha^{\mu} - \frac{y_1(b; \alpha^{\mu}) - B}{\frac{\partial y_1(b; \alpha^{\mu})}{\partial \alpha^{\mu}}} \quad \swarrow \text{wyznaczyć}$$

$y_1'(x) = y_2(x)$	$y_1(a) = A$
$y_2'(x) = f(x, y_1, y_2)$	$y_2(a) = \alpha$

różniczkujemy po α

$$\frac{d}{d\alpha} \frac{d}{dx} y_1(x; \alpha) = \frac{d}{d\alpha} y_2(x; \alpha)$$

$$\frac{d}{d\alpha} \frac{d}{dx} y_2(x; \alpha) = \frac{d}{d\alpha} f(x, y_1, y_2)$$

$$\frac{df}{d\alpha} = z_1 \frac{df}{dy_1} + z_2 \frac{df}{dy_2}$$

$$z_1 = \frac{dy_1}{d\alpha}$$

$$z_2 = \frac{dy_2}{d\alpha}$$

$$\frac{d}{dx} z_1(x; \alpha) = z_2(x; \alpha)$$

$$z_1(a) = 0$$

$$\frac{d}{dx} z_2(x; \alpha) = z_1 \frac{df}{dy_1} + z_2 \frac{df}{dy_2}$$

$$z_2(a) = 1$$

stowarzyszony
problem początkowy
do rozwiązania w funkcji x

$z_1(x=b, \alpha)$ da nam
mianownik do metody
Newtona

zbieżność Newtona / siecznych

zbieżność Newtona (zazwyczaj):

$$|\alpha_{\nu+1} - \alpha_{\infty}| \leq C |\alpha_{\nu} - \alpha_{\infty}|^2, \quad \nu \rightarrow \infty,$$

kwadratowa, ale wykonanie każdego kroku
wymaga rozwiązania dodatkowego problemu początkowego

zbieżność siecznych:

$$|\alpha_{\nu+1} - \alpha_{\infty}| \leq C |\alpha_{\nu} - \alpha_{\infty}|^{1.5}, \quad \nu \rightarrow \infty,$$

wolniejsza ale tańsza iteracja

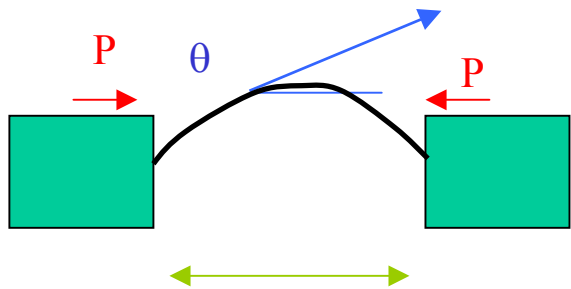
bisekcja:

$$|\alpha_{\nu+1} - \alpha_{\infty}| \leq C |\alpha_{\nu} - \alpha_{\infty}|^1$$

wolniejsza,
ale nie tańsza od siecznych
sensowne użycie, gdy nieróżniczkowalna
zależność od parametru swobodnego

przykład: pręt w imadle (*clamped elastica*)

pręt jednostkowej długości jest zamocowany sztywno pod zadaniem kątem w imadle które zaciskają się z obciążeniem P .



$\theta(s)=?$ s -współrzędna położenia wzdłuż pręta dla pręta jednostkowej długości $0 \leq s < 1$

znamy kąt $\theta(0)=\beta$, $\theta(1)=-\beta$, Z warunków symetrii: $\theta(1/2)=0$

z teorii elastyczności: $\frac{d^2\theta}{ds^2} + P \sin(\theta) = 0$ (problem nieliniowy)

poszukujemy: 1) kształtu pręta i co za tym idzie 2) rozstawienia szczęk imadła

przygotujemy problem do metody strzałów z metodą Newtona:

$$\begin{array}{lcl} y_1 & = & \theta \\ y_2 & = & \theta' \end{array} \xrightarrow{\text{równania}} \begin{array}{lcl} y_1' & = & y_2 \\ y_2' & = & -P \sin(y_1) \end{array}$$

z wp

równanie nieliniowe do rozwiązania:

$$y_1(1/2, \alpha) = 0$$

$$\begin{array}{lcl} \text{zadane} & \longrightarrow & y_1(0; \alpha) = \beta \\ \text{parametr do} & \longrightarrow & y_2(0; \alpha) = \alpha \\ \text{wyznaczenia} & & \end{array}$$

$$\alpha^{\mu+1} = \alpha^{\mu} - \frac{y_1(1/2; \alpha^{\mu})}{\frac{\partial y_1}{\partial \alpha}(1/2; \alpha^{\mu})}$$

przygotujmy problem do metody strzałów z metodą Newtona:

$$\left. \begin{array}{l} y_1' = y_2 \\ y_2' = -P \sin(y_1) \end{array} \right| \left. \begin{array}{l} y_1(0; \alpha) = \beta \\ y_2(0; \alpha) = \alpha \end{array} \right| \begin{array}{l} y_1(1/2, \alpha) = 0 \\ \alpha^{\mu+1} = \alpha^{\mu} - \frac{y_1(1/2; \alpha^{\mu})}{\frac{\partial y_1}{\partial \alpha}(1/2; \alpha^{\mu})} \end{array}$$

$$z_1 = \frac{\partial y_1}{\partial \alpha} \quad z_2 = \frac{\partial y_2}{\partial \alpha}$$

pochodna problemu początkowego po α

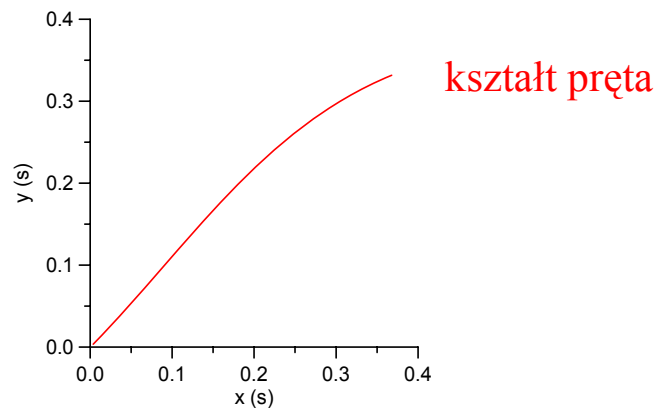
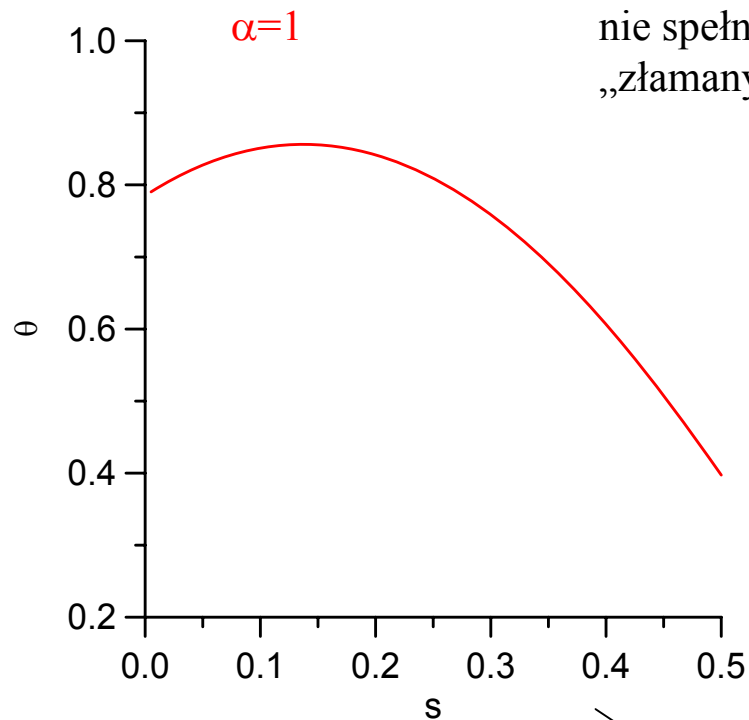
$$\left. \begin{array}{l} z_1' = z_2 \\ z_2' = -P \cos(y_1) z_1 \end{array} \right| \left. \begin{array}{l} z_1(0; \alpha) = 0 \\ z_2(0; \alpha) = 1 \end{array} \right|$$

kolejność działań:

- 1) rozwiązujemy problem na y : licznik
- 2) do wyliczenia mianownika
rozwiązujemy problem na z :
[z_2 ' wykorzystuje policzone w 1) y_1]
- 3) znajdujemy poprawione α

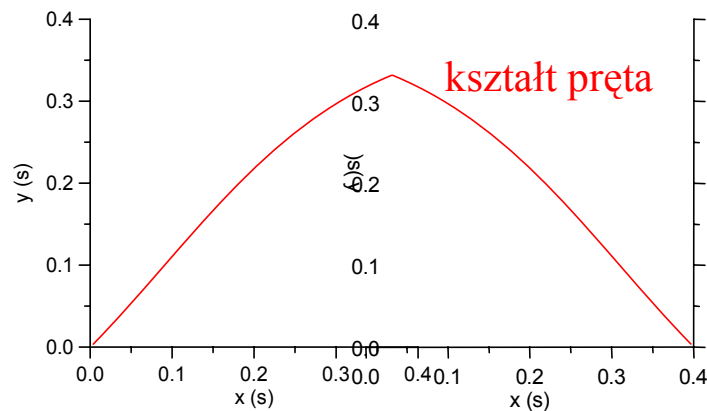
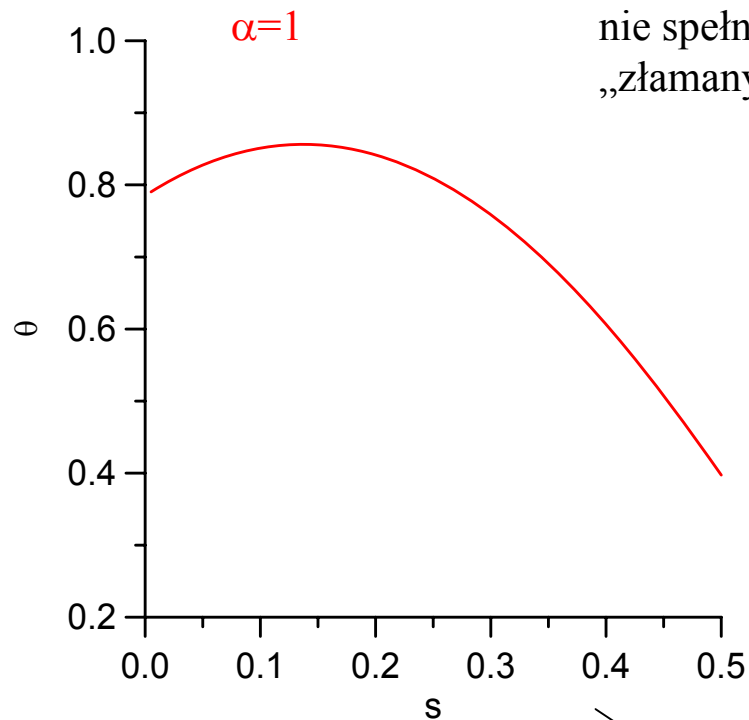
$$\alpha^{\mu+1} = \alpha^{\mu} - \frac{y_1(1/2; \alpha^{\mu})}{z_1(1/2; \alpha^{\mu})}$$

zaciśnięty pręt $\beta=\pi/4$, na starcie pochodna kąta θ po s : $\alpha=1$, $P=10$,
obydwa problemy początkowe rozwiązane jawnym schematem Eulera z $ds=0.5/100$



$$x(s) = \int_0^s \cos(\theta(u)) du$$
$$y(s) = \int_0^s \sin(\theta(u)) du$$

zaciśnięty pręt $\beta=\pi/4$, na starcie pochodna kąta θ po s : $\alpha=1$, $P=10$,
 problemy własne rozwiązane jawnym schematem Eulera z $ds=0.5/100$



$$x(s) = \int_0^s \cos(\theta(u)) du$$

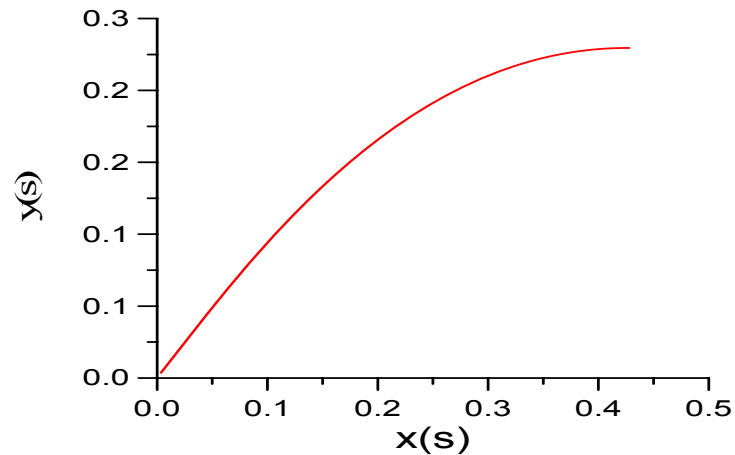
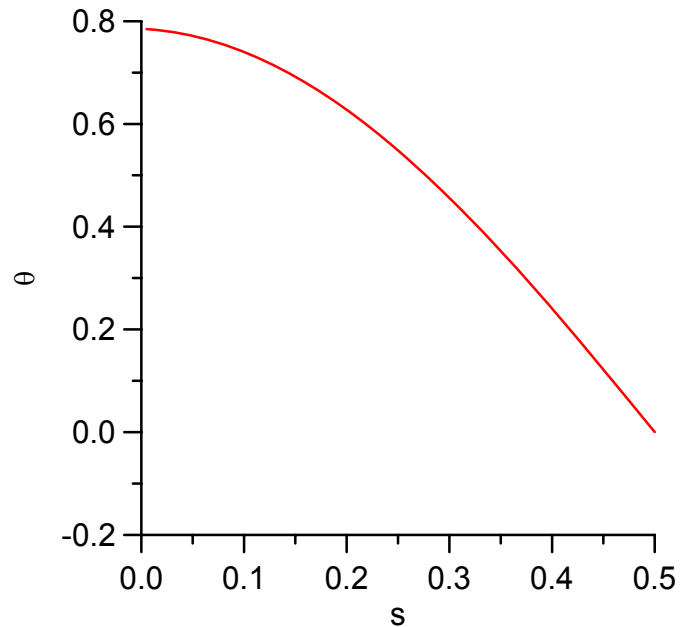
$$y(s) = \int_0^s \sin(\theta(u)) du$$

iteracja Newtona

	α	$\theta(1/2, \alpha)$
1	1.000000	0.3970441
2	-0.8177086E-01	0.1302912E-01
3	-0.1195772	0.1138412E-04
4	-0.1196103	0.8602074E-11
5	-0.1196103	-0.3694961E-15
6	-0.1196103	-0.4510281E-16
7	-0.1196103	0.6591949E-16

znaleźliśmy wartość parametru
 α która daje
właściwy kształt pręta

możemy teraz sobie odległość
między szczękami wyliczyć



problem algebraiczny z dyskretyzacji równania nieliniowego

$$u''(x) = f(x, u, u')$$

układ równań nieliniowych:

$$F_i(\mathbf{u}) = u_{i-1} - 2u_i + u_{i+1} - \Delta x^2 f\left(x_i, u_i, \frac{u_{i+1} - u_{i-1}}{2\Delta x}\right) = 0$$

metoda Newtona dla układu równań:

$$\mathbf{F}_{\mathbf{u}}(\mathbf{u}^{(\mu)}) \left(\mathbf{u}^{(\mu+1)} - \mathbf{u}^{(\mu)} \right) = -\mathbf{F}(\mathbf{u}^{(\mu)})$$

$$\mathbf{F}_{\mathbf{u}} = \begin{bmatrix} \frac{\partial F_1}{\partial u_1} & \frac{\partial F_1}{\partial u_2} & \cdots & \frac{\partial F_1}{\partial u_N} \\ \frac{\partial F_2}{\partial u_1} & \frac{\partial F_2}{\partial u_2} & \cdots & \frac{\partial F_2}{\partial u_N} \\ \vdots & \vdots & \ddots & \vdots \\ \frac{\partial F_N}{\partial u_1} & \frac{\partial F_N}{\partial u_2} & \cdots & \frac{\partial F_N}{\partial u_N} \end{bmatrix}$$

$$\frac{\partial F_i}{\partial u_j} = \left(1 + \frac{\Delta x}{2} \frac{\partial f}{\partial u'} \right) \delta_{i,j+1} + \left(-2 - \Delta x^2 \frac{\partial f}{\partial u} \right) \delta_{i,j} + \left(1 - \frac{\Delta x}{2} \frac{\partial f}{\partial u'} \right) \delta_{i,j-1}$$

funkcja i pochodne
liczone w

$$\left(x_i, u_i^\mu, \frac{u_{i+1}^\mu - u_{i-1}^\mu}{2\Delta x} \right)$$

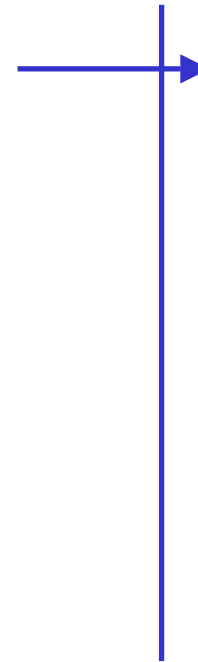
$$\mathbf{F}_{\mathbf{u}}(\mathbf{u}^{(\mu)}) \left(\mathbf{u}^{(\mu+1)} - \mathbf{u}^{(\mu)} \right) = -\mathbf{F}(\mathbf{u}^{(\mu)})$$

$$\frac{\partial F_i}{\partial u_j} = \left(1 + \frac{\Delta x}{2} \frac{\partial f}{\partial u'} \right) \delta_{i,j+1} + \left(-2 - \Delta x^2 \frac{\partial f}{\partial u} \right) \delta_{i,j} + \left(1 - \frac{\Delta x}{2} \frac{\partial f}{\partial u'} \right) \delta_{i,j-1}$$

$$c_i^\mu = \left(1 - \frac{\Delta x}{2} \frac{\partial f}{\partial u'}(x_i, u_i^\mu, \frac{u_{i+1}^\mu - u_{i-1}^\mu}{2\Delta x}) \right)$$

$$a_i^\mu = - \left(2 + \Delta x^2 \frac{\partial f}{\partial u}(x_i, u_i^\mu, \frac{u_{i+1}^\mu - u_{i-1}^\mu}{2\Delta x}) \right)$$

$$b_i^\mu = \left(1 + \frac{\Delta x}{2} \frac{\partial f}{\partial u'}(x_i, u_i^\mu, \frac{u_{i+1}^\mu - u_{i-1}^\mu}{2\Delta x}) \right)$$



w każdej
iteracji Newtona
układ równań z
macierzą
trójkątną
do rozwiązania

Przykład: - problem pręta w imadle: zmieniamy oznaczenia $s \rightarrow x$, $\theta \rightarrow u$

$$\left. \begin{aligned} \frac{d^2 u}{dx^2} &= f(x, u, u') = -P \sin(u) \\ u(0) &= -u(1) = \beta, u(1/2) = 0 \end{aligned} \right|$$

u – na siatce od 0 do $\frac{1}{2}$

$$\text{wzory ogólne:} \quad F_i(\mathbf{u}) = u_{i-1} - 2u_i + u_{i+1} - \Delta x^2 f(x_i, u_i, \frac{u_{i+1} - u_{i-1}}{2\Delta x}) = 0 \quad \left| \right.$$

$$\mathbf{F}_{\mathbf{u}}(\mathbf{u}^{(\mu)}) \left(\mathbf{u}^{(\mu+1)} - \mathbf{u}^{(\mu)} \right) = -\mathbf{F}(\mathbf{u}^{(\mu)})$$

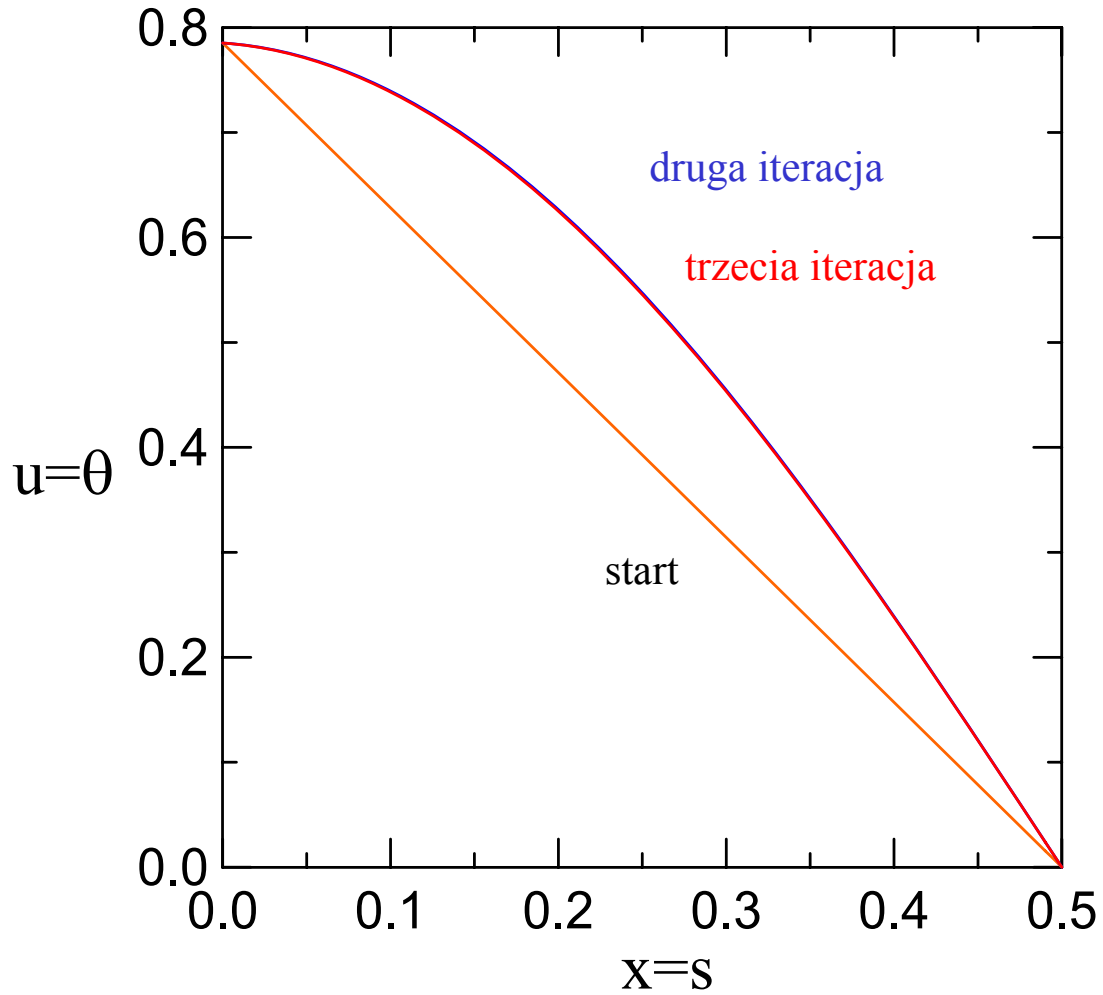
$$c_i^\mu = \left(1 - \frac{\Delta x}{2} \frac{\partial f}{\partial u'}(x_i, u_i^\mu, \frac{u_{i+1}^\mu - u_{i-1}^\mu}{2\Delta x}) \right) \quad 1$$

$$a_i^\mu = - \left(2 + \Delta x^2 \frac{\partial f}{\partial u}(x_i, u_i^\mu, \frac{u_{i+1}^\mu - u_{i-1}^\mu}{2\Delta x}) \right) \quad \rightarrow \quad a_i^\mu = -2 + P \Delta x^2 \cos(u_i) \quad \left| \right.$$

$$b_i^\mu = \left(1 + \frac{\Delta x}{2} \frac{\partial f}{\partial u'}(x_i, u_i^\mu, \frac{u_{i+1}^\mu - u_{i-1}^\mu}{2\Delta x}) \right) \quad 1$$

Przykład: - problem pręta w imadle

Wyniki



Przykład: - problem pręta w imadle

Wyniki

